

รายการอ้างอิง

- Alsunaidi, M.A., Masaoudi, H.M. and Arnold, J.M. A Time-Domain Algorithm for the Analysis of Second-Harmonic Generation in Nonlinear Optical Structures. IEEE Photonics Technology Letters 12 (April 2000): 395-397
- Bloembergen, N. Nonlinear Optics: Past, Present, and Future. IEEE Journal of Selected Topics in Quantum Electronics 6 (November/December 2000): 876-880
- Byer, R.L. Nonlinear Optics and Solid-State Lasers: 2000. IEEE Journal of Selected Topics in Quantum Electronics 6 (November/December 2000): 911-930
- Chari, M.V.K. and Salon, S.J. Numerical Methods in Electromagnetism. New York: Academic Press, 2000
- Chiu, Y., Gopalan, V., Kawas, M.J., Schlesinger, T.E., Stancil, D.D. and Risk, W.P. Integrated Optical Device with Second-Harmonic Generator, Electrooptic Lens, and Electrooptic Scanner in LiTaO₃ Journal of Lightwave Technology 17 (March 1999): 462-465
- Chou, H.F., Lin, C.F., Wang, G.C. An Iterative Finite Difference Beam Propagation Method for Modeling Second-Order Nonlinear Effects in Optical Waveguides. IEEE Journal of Lightwave Technology 16 (September 1998): 1686-1693
- Delacourt, D., Armani, F. and Pauchon, M. Second-Harmonic Generation Efficiency in Periodically Poled LiNbO₃ Waveguides. IEEE Journal of Quantum Electronics 30 (April 1994): 1090-1099

- Figueroa, H.E. Improved Split-Step Schemes for Nonlinear-Optical Propagation. Journal of Optical Society of America B 11 (May 1994): 798-803
- Furati, K.M., Alsunaidi, M.A. and Masousi, H.M. An Explicit Finite-Difference Scheme for Wave Propagation in Nonlinear Optical Structures. Applied Mathematics Letters 14 (2001): 297-302
- Hayata, K. and Koshihara, M. Numerical Study of Guided-Wave Sum-Frequency Generation Through Second-Order Nonlinear Parametric Processes. Journal of Optical Society of America B 8 (February 1991): 449-458
- Helmy, A., Hutchings, D.C., Kleckner, J.H., Marsh, J.H., Bryce, A.C., Arnold, J.M., Stanley, C.R., Aitchison, J.S., Brown, C.T.A., Moutzouris, K. and Ebrahimzadeh, M. Quasi-Phase-Matching in GaAs-AlAs Superlattice Waveguides via Bandgap Tuning Quantum Well Intermixing. Nonlinear Optics: Materials, Fundamentals, and Applications Technical Digest, 6-10 (August 2000): 159-161
- Hoekstra, H., Noordman, O., Krijnen, G., Varshney, R.K., and Henselmans, E. Beam-Propagation Method for Second-Harmonic Generation in Waveguides with Birefringent Materials. Journal of Optical Society of America B 7 (July 1997): 1823-1830
- Ironsides, C.N., Aitchison, J.S. and Arnold, J.M. An All-Optical Switch Employing the Cascaded Second-Order Nonlinear Effect. IEEE Journal of Quantum Electronics 29 (October 1993): 2650-2654
- Ito, H. and Inaba, H. Efficient Phase-Matched Second Harmonic Generation Method in Four-Layered Optical Waveguide Structure. Optics Letters 2 (1978): 139-1414

- Itoh, T., Pelosi, G. and Silvester, P. Finite Element Software for Microwave Engineering.
New York: John Wiley & Sons, 1996
- Katsriku, F.A., Rahmanm , B.M.A. and Grattan, K. Finite Element Analysis of Diffused Anisotropic Optical Waveguides. IEEE Journal of Lightwave Technology 14 (May 1996):780-786
- Katsriku, F.A., Rahman, B.M.A. and Grattan, K. Numerical Modeling of Second Harmonic Generation in Optical Waveguides Using the Finite Element Method. IEEE Journal of Quantum Electronics 33 (October 1997): 1727-1733
- Katsriku, F.A., Rahman, B.M.A. and Grattan, K. Finite-Element Analysis of Second-Harmonic Generation in AlGaAs Waveguide. IEEE Journal of Quantum Electronics 36 (March 2000): 282-289
- Koshiba, M. Optical Waveguide Theory by The Finite Element Method. Tokyo :
KTK Scientific Publishers, 1992.
- Koshiba, M., Saitoh, H., Eguchi, M. and Hiriyama, K. A Simple Scalar Finite Element Approach to Optical Rib Waveguides. IEE Proceeding 139 (April 1992): 166-171
- Koshiba, M. and Tsuji, Y. Curvilinear Hybrid Edge/Nodal Elements with Triangular Shape for Guided-Wave Problems. IEEE Journal of Lightwave Technology 18 (May 2000): 737-743
- Krijnen, G., Torruellas, W., Stegeman, G.I., Hoekstra, H. and Lambeck, P. Optimization Second Harmonic Generation and Nonlinear Phase-Shift in Cerenkov Regime. IEEE Journal of Quantum Electronics 32 (April 1996): 729-738

Kwon, Y. and Bang, H. The Finite Element Method Using MATLAB. 2 nd ed. New York: CRC Press, 2000.

Levin, B.F., Bethea, C.G. and Logan, R.A. Phase-Matched Second-Harmonic Generation in Liquid-Filled Waveguides Applied Physics Letters 26 (1975): 375-377

Marz, R. Integrated Optics : Design and Modeling. MA : Artech House, 1995.

Masoudi, H.M., and Arnold, J.M. Modeling Second-Order Nonlinear Effects in Optical Waveguides Using a Parallel-Processing Beam Propagation Method. IEEE Journal of Quantum Electronics 31 (December 1995): 2107-2113

Mizuuchi, K. and Yamamoto, K. Highly Efficient Quasi-Phase-Matched Second – Harmonic Generation Using a First-Order Periodically Domain-Inverted LiTaO₃ Waveguide. Applied Physics Letters 60 (March 1992): 1283-1285

Nishihara, H., Haruna, M. and Suhara, T. Optical Integrated Circuits. New York : McGraw-Hill, 1989

Peterson, A., Ray, S. and Mittra, R. Computational Methods For Electromagnetics. New York: IEEE Press, 1998.

Peterson, A. Vector Finite Element Formulation for Scattering from Two-Dimensional Heterogeneous Bodies. IEEE Transactions on Antennas AND Propagation. 43 (March 1994): 357-365

- Rafailov, E.U., Loza-Alvarez, P., Brown, C.T.A., Sibbett, W., De La Rue, R.M., Millar, P., Yanson, D.A., Roberts, J.S. and Houston, P.A. Second-Harmonic Generation from a First Order Quasi-Phase-Matched GaAs/AlGaAs Waveguide Crystals. Optics Letters 26 (December 2001):1984-1986
- Schulz, D., Glingener, C., Bludszuweit, M. and Voges, E. Mixed Finite Element Beam Propagation Method. IEEE Journal of Lightwave Technology 16 (July 1998): 1336-1341
- Uesugi, N. and Kimura, T. Efficient Second-Harmonic Generation in Three Dimensional LiNbO₃ Optical Waveguide. Applied Physics Letters 29 (1976): 572-574
- Weitzmzn, P. and Osterberg, U. A Modified Beam Propagation Method to Model Second Harmonic Generation in Optical Fibers. IEEE Journal of Quantum Electronics 29 (May 1993): 1437-1443
- Yamamoto, K., Mizuuchi, K., Takeshige, K., Sasai, Y. and Taniuchi, T. Characteristics of Periodically Domain-Inverted LiNbO₃ and LiTaO₃ Waveguides for Second Harmonic Generation. Journal of Applied Physics 70 (August 1991): 1947-1951
- Yamamoto, K. and Taniuchi, T. Characteristics of Pyrophosphoric Acid Proton-Exchanged Waveguides in LiNbO₃. Journal of Applied Physics 70 (December 1991): 6663-6668
- Yasui, T. and Koshiha, M. Three-Dimensional Beam Propagation Analysis of Quasi-Phase Matched Second Harmonic Generation Devices with Triangular and Semi-Circular Domain Inversion Profiles. IEICE Transactions on Electronics E83-C (May 2000): 697-704

Yasui, T. and Koshiha, M. Beam Propagation Analysis of Quasi-Phase Matched Second Harmonic Generation Devices. IEEE Transactions on Magnetics 36 (July 2000): 1871-1875

Yasui, T. and Koshiha, M. Three-Dimensional Vector Beam-Propagation Method for Second Harmonic Generation Analysis. IEEE Journal of Lightwave Technology 19 (May 2001): 780-785

Zienkiewicz, O.C. The Finite Element Method. 3rd ed. London: McGraw-Hill, 1977.



ศูนย์วิทยทรัพยากร
จุฬาลงกรณ์มหาวิทยาลัย



ภาคผนวก

ศูนย์วิทยทรัพยากร
จุฬาลงกรณ์มหาวิทยาลัย

ภาคผนวก ก

ความสัมพันธ์ระหว่าง สภาวะรับไว้ได้ทางไฟฟ้าแบบไม่เชิงเส้นอันดับสอง กับ สัมประสิทธิ์ความไม่เป็นเชิงเส้น

โพลาริเซชันแบบไม่เชิงเส้นที่เกี่ยวข้องกับปรากฏการณ์การกำเนิดแสงฮาร์มอนิก
อันดับสอง สามารถแสดงด้วยปริมาณในระบบพิกัดฉากได้ดังนี้

$$(P_{NL})_l = \varepsilon_0 \chi_{lmn}^{(2)} : E_m E_n \quad (l, m, n = 1, 2, 3) \quad (ก.1)$$

โดยที่

$(P_{NL})_l$ คือ องค์ประกอบที่ l ของเวกเตอร์โพลาริเซชันแบบไม่เชิงเส้น $\bar{P}_{NL}(x, y, z)$

$\chi_{lmn}^{(2)}$ คือ สมาชิกของซัสเซพติบิลิตีทางไฟฟ้าแบบไม่เชิงเส้นอันดับสอง

E_m และ E_n คือ องค์ประกอบของสนามไฟฟ้าอินพุต $\bar{E}(x, y, z)$

$l, m, n (= 1, 2, 3)$ เป็นมอดุโล (modulo) ของ (x, y, z)

ซัสเซพติบิลิตีทางไฟฟ้าแบบไม่เชิงเส้นอันดับสอง $\chi_{lmn}^{(2)}$ ของตัวกลางทางแสงจะ
สัมพันธ์กับเทนเซอร์สัมประสิทธิ์ความไม่เป็นเชิงเส้น d_{lmn} ดังนี้

$$\chi_{lmn}^{(2)} = 2d_{lmn} \quad (ก.2)$$

เนื่องจากการสลับตำแหน่งขององค์ประกอบสนามไฟฟ้า E_m และ E_n ไม่ได้ก่อให้เกิดความ
เปลี่ยนแปลงใด ๆ แก่สมการ (ก.1) นั่นคือ

$$d_{lmn} = d_{lnm} \quad (ก.3)$$

ดังนั้นจำนวนสมาชิกของสัมประสิทธิ์ความไม่เป็นเชิงเส้นอันดับสอง d_{lmn} จากจำนวนทั้งหมด 27
ตัว จึงมีสมาชิกที่เป็นอิสระอยู่จำนวน 18 ตัว และโดยการกำหนดรูปแบบของการเขียนตัวห้อย
 mn ให้มีรูปร่างง่ายเป็น p ดัง ตาราง ก.1 จะทำให้เทนเซอร์ d_{lmn} แบบ 3 ชั้น กลายเป็นเมทริกซ์
ขนาด 3 แถวและ 6 หลัก ดังนี้

ตาราง ก.1 ความสัมพันธ์ของตัวห้อยระหว่าง mn กับ p

mn	11	22	33	23,32	31,13	12,21
p	1	2	3	4	5	6

ความสัมพันธ์ระหว่างเวกเตอร์โพลาไรเซชัน $\bar{P}(x, y, z)$ กับสัมประสิทธิ์ความไม่เป็นเชิงเส้น d_{lmn} และสนามไฟฟ้า $\bar{E}(x, y, z)$ จะแสดงได้ในรูปของเมทริกซ์ ดังนี้

$$\begin{bmatrix} P_1 \\ P_2 \\ P_3 \end{bmatrix} = \begin{bmatrix} d_{11} & d_{12} & d_{13} & d_{14} & d_{15} & d_{16} \\ d_{21} & d_{22} & d_{23} & d_{24} & d_{25} & d_{26} \\ d_{31} & d_{32} & d_{33} & d_{34} & d_{35} & d_{36} \end{bmatrix} \begin{bmatrix} (E_1)^2 \\ (E_2)^2 \\ (E_3)^2 \\ 2E_2E_3 \\ 2E_3E_1 \\ 2E_1E_2 \end{bmatrix} \quad (\text{ก.4})$$

โดยที่

(1,2,3) เป็นมอดูโล (modulo) ของ (x, y, z)

ศูนย์วิทยทรัพยากร
จุฬาลงกรณ์มหาวิทยาลัย

ภาคผนวก ข

สมการคลื่นแบบเวกเตอร์สำหรับวิเคราะห์การกำเนิดแสงฮาร์มอนิกอันดับสอง

สนามไฟฟ้าและสนามแม่เหล็กภายในอุปกรณ์ QPM-SHG จะสอดคล้องกับสมการของแมกซ์เวลล์และความสัมพันธ์ปรุ้งแต่ง ดังนี้

$$\nabla \times \mathbf{E}(x, y, z) = -j\omega\mu_0 \mathbf{H}(x, y, z) \quad (\text{ข.1})$$

$$\nabla \times \mathbf{H}(x, y, z) = j\omega \mathbf{D}(x, y, z) \quad (\text{ข.2})$$

$$\mathbf{D}(x, y, z) = \varepsilon_0 [\varepsilon_r] \cdot \mathbf{E}(x, y, z) + \varepsilon_0 [d] : \mathbf{E}(x, y, z) \mathbf{E}(x, y, z) \quad (\text{ข.3})$$

การกำเนิดแสงฮาร์มอนิกอันดับสองในตัวกลางทางแสงแบบไม่เป็นเชิงเส้น จะเกี่ยวข้องกับแสงจำนวนสองความถี่ คือ แสงมูลฐาน (fundamental wave) ความถี่ ω_1 และ แสงฮาร์มอนิกอันดับสอง (second harmonic wave) ความถี่ ω_2 สนามไฟฟ้าและสนามแม่เหล็กของแสงทั้งสองสามารถเขียนได้ในรูปผลรวม ได้ดังนี้

$$\mathbf{E}_{total}(x, y, z) = \mathbf{E}_1(x, y, z) + \mathbf{E}_2(x, y, z) \quad (\text{ข.4})$$

$$\mathbf{H}_{total}(x, y, z) = \mathbf{H}_1(x, y, z) + \mathbf{H}_2(x, y, z) \quad (\text{ข.5})$$

โดยที่

$\mathbf{E}_{total}(x, y, z)$ และ $\mathbf{H}_{total}(x, y, z)$ คือ สนามไฟฟ้าและสนามแม่เหล็กผลรวม

$\mathbf{E}_1(x, y, z)$ และ $\mathbf{H}_1(x, y, z)$ คือ สนามไฟฟ้าและสนามแม่เหล็กของแสงมูลฐาน

$\mathbf{E}_2(x, y, z)$ และ $\mathbf{H}_2(x, y, z)$ คือ สนามไฟฟ้าและสนามแม่เหล็กของแสงฮาร์มอนิกอันดับสอง

แทนสมการ (ข.4) ลงใน (ข.1) จะได้

$$\mathbf{H}_1(x, y, z) = (-j\omega_1\mu_0)^{-1} (\nabla \times \mathbf{E}_1(x, y, z)) \quad (\text{ข.6})$$

$$\mathbf{H}_2(x, y, z) = (-j\omega_2\mu_0)^{-1} (\nabla \times \mathbf{E}_2(x, y, z)) \quad (\text{ข.7})$$

สำหรับตัวกลางทางแสงแบบไม่เชิงเส้นที่ใช้เป็นตัวกลางในการกำเนิดแสงฮาร์มอนิกอันดับสอง ความหนาแน่นพลั๊กซ์ไฟฟ้า กับสนามไฟฟ้า ภายในตัวกลางนี้ จะมีความสัมพันธ์กันตาม ความสัมพันธ์ปรุ้งแต่ง (constitutive relation) ดังนี้

$$D_1(x, y, z) = \varepsilon_0 [\varepsilon_{r,1}] E_1(x, y, z) + 2\varepsilon_0 [d] : E_1^*(x, y, z) E_2(x, y, z) \quad (ข.8)$$

$$D_2(x, y, z) = \varepsilon_0 [\varepsilon_{r,2}] E_2(x, y, z) + \varepsilon_0 [d] : E_1(x, y, z) E_1(x, y, z) \quad (ข.9)$$

จากสมการ (ข.2) สนามแม่เหล็กของ แสงมูลฐาน และ แสงฮาร์มอนิกอันดับสอง จะเป็นดังนี้

$$\nabla \times H_1(x, y, z) = j\omega_1 D_1(x, y, z) \quad (ข.10)$$

$$\nabla \times H_2(x, y, z) = j\omega_2 D_2(x, y, z) \quad (ข.11)$$

แทนสมการ (ข.6) และ (ข.8) ลงใน (ข.10) จะได้

$$\nabla \times \{(-j\omega_1 \mu_0)^{-1} \nabla \times E_1(x, y, z)\} = j\omega_1 \{ \varepsilon_0 [\varepsilon_{r,1}] E_1(x, y, z) + 2\varepsilon_0 [d] : E_1^*(x, y, z) E_2(x, y, z) \}$$

หรือ

$$\begin{aligned} \nabla \times \nabla \times E_1(x, y, z) &= (-j\omega_1 \mu_0)(j\omega_1 \varepsilon_0) [\varepsilon_{r,1}] E_1(x, y, z) \\ &\quad + 2(-j\omega_1 \mu_0)(j\omega_1 \varepsilon_0) [d] : E_1^*(x, y, z) E_2(x, y, z) \end{aligned} \quad (ข.12)$$

นิยามให้ $k_{0,1}^2 = \omega_1^2 \mu_0 \varepsilon_0$ คือ หมายเลขคลื่นในอวกาศว่าง (free space wave number) ของคลื่นมูลฐาน สมการ (ข.12) จะเขียนได้ดังนี้

$$\nabla \times \nabla \times E_1(x, y, z) = k_{0,1}^2 [\varepsilon_{r,1}] \cdot E_1(x, y, z) + 2k_{0,1}^2 [d] : E_1^*(x, y, z) E_2(x, y, z) \quad (ข.13)$$

สำหรับกรณีของคลื่นฮาร์มอนิกอันดับสองนั้น จะพิจารณาได้ในทำนองเดียวกันกับคลื่นมูลฐาน โดยแทนแทนสมการ (ข.7) และ (ข.9) ลงใน (ข.11) จะได้

$$\begin{aligned} \nabla \times \nabla \times E_2(x, y, z) &= (-j\omega_2 \mu_0)(j\omega_2 \varepsilon_0) [\varepsilon_{r,2}] E_2(x, y, z) \\ &\quad + 2(-j\omega_2 \mu_0)(j\omega_2 \varepsilon_0) [d] : E_1(x, y, z) E_1(x, y, z) \end{aligned} \quad (ข.14)$$

นิยามให้ $k_{0,2}^2 = \omega_2^2 \mu_0 \varepsilon_0$ คือ หมายเลขคลื่นในอวกาศว่าง (free space wave number) ของคลื่นฮาร์มอนิกอันดับ สมการ (ข.14) จะกลายเป็น

$$\nabla \times \nabla \times E_2(x, y, z) = k_{0,2}^2 [\varepsilon_{r,2}] \cdot E_2(x, y, z) + k_{0,2}^2 [d] : E_1(x, y, z) E_1(x, y, z) \quad (ข.15)$$

ดังนั้น สมการคลื่นแบบเวกเตอร์สำหรับสนามไฟฟ้าของคลื่นมูลฐานและคลื่นฮาร์โมนิกอันดับสอง จะเป็นดังนี้

$$\nabla \times \nabla \times \mathbf{E}_1(x, y, z) - k_{0,1}^2 [\varepsilon_{r,1}] \mathbf{E}_1(x, y, z) = 2k_{0,1}^2 [d] : \mathbf{E}_1^*(x, y, z) \mathbf{E}_2(x, y, z) \quad (\text{ข.16})$$

$$\nabla \times \nabla \times \mathbf{E}_2(x, y, z) - k_{0,2}^2 [\varepsilon_{r,2}] \mathbf{E}_2(x, y, z) = k_{0,2}^2 [d] : \mathbf{E}_1(x, y, z) \mathbf{E}_1(x, y, z) \quad (\text{ข.17})$$

จากสมการคลื่นแบบเวกเตอร์สำหรับสนามไฟฟ้าของคลื่นมูลฐานและคลื่นฮาร์โมนิกอันดับสอง (ข.16) และ (ข.17) เพื่อความสะดวกในการหาผลเฉลยด้วยระเบียบวิธีเชิงตัวเลขในภายหลังจะกำหนดให้

$$\mathbf{P}_1(x, y, z) = 2[d] : \mathbf{E}_1^*(x, y, z) \mathbf{E}_2(x, y, z) \quad (\text{ข.18})$$

$$\mathbf{P}_2(x, y, z) = [d] : \mathbf{E}_1(x, y, z) \mathbf{E}_1(x, y, z) \quad (\text{ข.19})$$

รูปตัดแฉ่งของสมการ (ข.18) และ (ข.19) จะเป็นดังนี้

$$\mathbf{P}_1(x, y, z) = \begin{bmatrix} P_{x,1} \\ P_{y,1} \\ P_{z,1} \end{bmatrix} = 2 \begin{bmatrix} d_{11} & d_{12} & d_{13} & d_{14} & d_{15} & d_{16} \\ d_{21} & d_{22} & d_{23} & d_{24} & d_{25} & d_{26} \\ d_{31} & d_{32} & d_{33} & d_{34} & d_{35} & d_{36} \end{bmatrix} \begin{bmatrix} E_{x,1}^* E_{x,2} \\ E_{y,1}^* E_{y,2} \\ E_{z,1}^* E_{z,2} \\ E_{y,1}^* E_{z,1} + E_{z,1}^* E_{y,2} \\ E_{z,1}^* E_{x,2} + E_{x,1}^* E_{z,2} \\ E_{x,1}^* E_{y,2} + E_{y,1}^* E_{x,2} \end{bmatrix} \quad (\text{ข.20})$$

$$\mathbf{P}_2(x, y, z) = \begin{bmatrix} P_{x,2} \\ P_{y,2} \\ P_{z,2} \end{bmatrix} = \begin{bmatrix} d_{11} & d_{12} & d_{13} & d_{14} & d_{15} & d_{16} \\ d_{21} & d_{22} & d_{23} & d_{24} & d_{25} & d_{26} \\ d_{31} & d_{32} & d_{33} & d_{34} & d_{35} & d_{36} \end{bmatrix} \begin{bmatrix} (E_{x,1})^2 \\ (E_{y,1})^2 \\ (E_{z,1})^2 \\ 2E_{y,1} E_{z,1} \\ 2E_{z,1} E_{x,1} \\ 2E_{x,1} E_{y,1} \end{bmatrix} \quad (\text{ข.21})$$

สมการ (ข.16) และ (ข.17) สามารถเขียนได้ในรูป

$$\nabla \times \nabla \times \mathbf{E}_1(x, y, z) - k_{0,1}^2 [\varepsilon_{r,1}] \cdot \mathbf{E}_1(x, y, z) = k_{0,1}^2 \mathbf{P}_1(x, y, z) \quad (\text{ข.22})$$

$$\nabla \times \nabla \times \mathbf{E}_2(x, y, z) - k_{0,2}^2 [\varepsilon_{r,2}] \cdot \mathbf{E}_2(x, y, z) = k_{0,2}^2 \mathbf{P}_2(x, y, z) \quad (\text{ข.23})$$

พิจารณากการสร้างสมการคลื่นแบบเวกเตอร์สำหรับสนามแม่เหล็กบ้าง โดยเริ่มต้นจากการแทนสมการ (ข.8) และ (ข.9) ลงในสมการ (ข.10) และ (ข.11) ตามลำดับ จะได้

$$\nabla \times \mathbf{H}_1(x, y, z) = j\omega_1 \varepsilon_0 \left([\varepsilon_{r,1}] \mathbf{E}_1(x, y, z) + 2[d]: \mathbf{E}_1^*(x, y, z) \mathbf{E}_2(x, y, z) \right) \quad (\text{ข.24})$$

$$\nabla \times \mathbf{H}_2(x, y, z) = j\omega_2 \varepsilon_0 \left([\varepsilon_{r,2}] \mathbf{E}_2(x, y, z) + [d]: \mathbf{E}_1(x, y, z) \mathbf{E}_1(x, y, z) \right) \quad (\text{ข.25})$$

หรือ

$$\mathbf{E}_1(x, y, z) = (j\omega_1 \varepsilon_0)^{-1} [\varepsilon_{r,1}]^{-1} \left(\nabla \times \mathbf{H}_1(x, y, z) - j\omega_1 \varepsilon_0 2[d]: \mathbf{E}_1^*(x, y, z) \mathbf{E}_2(x, y, z) \right) \quad (\text{ข.26})$$

$$\mathbf{E}_2(x, y, z) = (j\omega_2 \varepsilon_0)^{-1} [\varepsilon_{r,2}]^{-1} \left(\nabla \times \mathbf{H}_2(x, y, z) - j\omega_2 \varepsilon_0 [d]: \mathbf{E}_1(x, y, z) \mathbf{E}_1(x, y, z) \right) \quad (\text{ข.27})$$

แทนสมการ (ข.26) ลงใน (ข.6) จะได้

$$\nabla \times [\varepsilon_{r,1}]^{-1} \nabla \times \mathbf{H}_1(x, y, z) - k_{0,1}^2 \mathbf{H}_1(x, y, z) = j\omega_1 \varepsilon_0 \nabla \times [\varepsilon_{r,1}]^{-1} \mathbf{P}_1(x, y, z) \quad (\text{ข.28})$$

ในทำนองเดียวกัน แทนสมการ (ข.7) ลงใน (ข.9) จะได้

$$\nabla \times [\varepsilon_{r,2}]^{-1} \nabla \times \mathbf{H}_2(x, y, z) - k_{0,2}^2 \mathbf{H}_2(x, y, z) = j\omega_2 \varepsilon_0 \nabla \times [\varepsilon_{r,2}]^{-1} \mathbf{P}_2(x, y, z) \quad (\text{ข.29})$$

สมการ (ข.22) และ (ข.23) สามารถเขียนได้รูปแบบหนึ่งเดียว ดังนี้

$$\nabla \times \nabla \times \mathbf{E}_i(x, y, z) - k_{0,i}^2 [\varepsilon_{r,i}] \cdot \mathbf{E}_i(x, y, z) = k_{0,i}^2 \mathbf{P}_i(x, y, z) \quad (\text{ข.30})$$

และสมการ (ข.28) และ (ข.29)

$$\nabla \times [\varepsilon_{r,i}]^{-1} \nabla \times \mathbf{H}_i(x, y, z) - k_{0,i}^2 \mathbf{H}_i(x, y, z) = j\omega_i \varepsilon_0 \nabla \times [\varepsilon_{r,i}]^{-1} \mathbf{P}_i(x, y, z) \quad (\text{ข.31})$$

โดยที่ i เท่ากับ 1 และ 2 สำหรับแสงมูลฐานและแสงฮาร์มอนิกอันดับสอง ตามลำดับ

ภาคผนวก ค

สมการคลื่นแบบสเกลาร์สำหรับวิเคราะห์การกำเนิดแสงฮาร์มอนิกอันดับสอง

สมการคลื่นแบบสเกลาร์ สำหรับองค์ประกอบสนามไฟฟ้า $E_{x,i}$ ของโหมด E_{mn}^x ในท่อนำคลื่นแสงริบ

จากสมการคลื่นแบบเวกเตอร์สำหรับสนามไฟฟ้า (ข.33) คือ

$$\nabla \times \nabla \times \mathbf{E}_i(x, y, z) - k_{0,i}^2 [\epsilon_{r,i}] \cdot \mathbf{E}_i(x, y, z) = k_{0,i}^2 \mathbf{P}_i(x, y, z) \quad (\text{ค.1})$$

แยกองค์ประกอบของสมการดังกล่าวได้ ดังนี้

$$\begin{bmatrix} \left(-\frac{\partial^2 E_{x,i}}{\partial y^2} - \frac{\partial^2 E_{x,i}}{\partial z^2} \right) + \left(\frac{\partial^2 E_{y,i}}{\partial y^2} \right) + \left(\frac{\partial^2 E_{z,i}}{\partial x \partial z} \right) \\ \left(\frac{\partial^2 E_{x,i}}{\partial x \partial y} \right) + \left(-\frac{\partial^2 E_{y,i}}{\partial x^2} - \frac{\partial^2 E_{y,i}}{\partial z^2} \right) + \left(\frac{\partial^2 E_{z,i}}{\partial y \partial z} \right) \\ \left(\frac{\partial^2 E_{x,i}}{\partial x \partial z} \right) + \left(\frac{\partial^2 E_{y,i}}{\partial y \partial z} \right) + \left(-\frac{\partial^2 E_{z,i}}{\partial x^2} - \frac{\partial^2 E_{z,i}}{\partial y^2} \right) \end{bmatrix} = k_{0,i}^2 \begin{bmatrix} \epsilon_{xx,i} & 0 & 0 \\ 0 & \epsilon_{yy,i} & 0 \\ 0 & 0 & \epsilon_{zz,i} \end{bmatrix} \begin{bmatrix} E_{x,i} \\ E_{y,i} \\ E_{z,i} \end{bmatrix} + k_{0,i}^2 \begin{bmatrix} P_{x,i} \\ P_{y,i} \\ P_{z,i} \end{bmatrix}$$

สมการคลื่นแบบสเกลาร์สำหรับองค์ประกอบ $E_{x,i}$ จะเป็นดังนี้

$$-\frac{\partial^2 E_{x,i}}{\partial x^2} - \frac{\partial^2 E_{x,i}}{\partial z^2} + \frac{\partial^2 E_{y,i}}{\partial y^2} + \frac{\partial^2 E_{z,i}}{\partial x \partial z} = k_{0,i}^2 \epsilon_{xx,i} E_{x,i} + k_{0,i}^2 P_{x,i} \quad (\text{ค.2})$$

สำหรับโหมด E_{mn}^x จะกำหนดให้

$$E_{y,i} \equiv 0 \quad (\text{ค.3})$$

และ $E_{z,i}$ สามารถเขียนได้ในรูปของ $E_{x,i}$ ดังนี้

$$E_{z,i} = \frac{\epsilon_{xx,i}}{\epsilon_{zz,i}} \frac{1}{j\beta_i} \frac{\partial E_{x,i}}{\partial x} \quad (\text{ค.4})$$

แทนสมการ (ค.3) และ (ค.4) ลงใน (ค.2) จะได้

$$\frac{\partial}{\partial x} \left(\frac{\epsilon_{xx,i}}{\epsilon_{zz,i}} \frac{\partial E_{x,i}}{\partial x} \right) + \frac{\partial^2 E_{x,i}}{\partial y^2} + \frac{\partial^2 E_{x,i}}{\partial z^2} + k_{0,i}^2 \epsilon_{xx,i} E_{x,i} = -k_{0,i}^2 P_{x,i} \quad (\text{ค.5})$$

สมการคลื่นแบบสเกลาร์ สำหรับองค์ประกอบสนามแม่เหล็ก $H_{x,i}$ ของโหมด E_{mn}^y ในท่อนำคลื่น
แสงแบบฝังในแผ่นฐาน

จากสมการคลื่นแบบเวกเตอร์สำหรับสนามแม่เหล็ก (ข.34) คือ

$$\nabla \times [\epsilon_{r,i}]^{-1} \nabla \times \mathbf{H}_i(x, y, z) - k_{0,i}^2 \mathbf{H}_i(x, y, z) = j\omega_i \epsilon_0 \nabla \times [\epsilon_{r,i}]^{-1} \mathbf{P}_i(x, y, z) \quad (\text{ค.6})$$

พิจารณา พจน์แรกด้านซ้ายมือของสมการ (ค.6)

$$\begin{bmatrix} (\nabla \times [\epsilon_{r,i}]^{-1} \nabla \times \mathbf{H}_i)_x \\ (\nabla \times [\epsilon_{r,i}]^{-1} \nabla \times \mathbf{H}_i)_y \\ (\nabla \times [\epsilon_{r,i}]^{-1} \nabla \times \mathbf{H}_i)_z \end{bmatrix} = \begin{bmatrix} \frac{\partial}{\partial y} \left(\frac{1}{\epsilon_{zz,i}} \frac{\partial H_{y,i}}{\partial x} \right) - \frac{\partial}{\partial y} \left(\frac{1}{\epsilon_{zz,i}} \frac{\partial H_{x,i}}{\partial y} \right) - \frac{\partial}{\partial z} \left(\frac{1}{\epsilon_{yy,i}} \frac{\partial H_{x,i}}{\partial x} \right) + \frac{\partial}{\partial z} \left(\frac{1}{\epsilon_{yy,i}} \frac{\partial H_{z,i}}{\partial x} \right) \\ \frac{\partial}{\partial z} \left(\frac{1}{\epsilon_{xx,i}} \frac{\partial H_{z,i}}{\partial y} \right) - \frac{\partial}{\partial z} \left(\frac{1}{\epsilon_{xx,i}} \frac{\partial H_{y,i}}{\partial z} \right) - \frac{\partial}{\partial x} \left(\frac{1}{\epsilon_{zz,i}} \frac{\partial H_{y,i}}{\partial x} \right) + \frac{\partial}{\partial x} \left(\frac{1}{\epsilon_{zz,i}} \frac{\partial H_{x,i}}{\partial x} \right) \\ \frac{\partial}{\partial x} \left(\frac{1}{\epsilon_{yy,i}} \frac{\partial H_{x,i}}{\partial z} \right) - \frac{\partial}{\partial x} \left(\frac{1}{\epsilon_{yy,i}} \frac{\partial H_{z,i}}{\partial x} \right) - \frac{\partial}{\partial y} \left(\frac{1}{\epsilon_{xx,i}} \frac{\partial H_{z,i}}{\partial y} \right) + \frac{\partial}{\partial y} \left(\frac{1}{\epsilon_{xx,i}} \frac{\partial H_{y,i}}{\partial z} \right) \end{bmatrix} \quad (\text{ค.7})$$

พิจารณา พจน์แหล่งกำเนิดด้านขวามือของสมการ (ค.6)

$$j\omega_i \epsilon_0 \begin{bmatrix} (\nabla \times [\epsilon_{r,i}]^{-1} \mathbf{P}_i)_x \\ (\nabla \times [\epsilon_{r,i}]^{-1} \mathbf{P}_i)_y \\ (\nabla \times [\epsilon_{r,i}]^{-1} \mathbf{P}_i)_z \end{bmatrix} = j\omega_i \epsilon_0 \begin{bmatrix} \frac{\partial}{\partial y} \left(\frac{P_{z,i}}{\epsilon_{zz,i}} \right) - \frac{\partial}{\partial z} \left(\frac{P_{y,i}}{\epsilon_{yy,i}} \right) \\ \frac{\partial}{\partial z} \left(\frac{P_{x,i}}{\epsilon_{xx,i}} \right) - \frac{\partial}{\partial x} \left(\frac{P_{z,i}}{\epsilon_{zz,i}} \right) \\ \frac{\partial}{\partial x} \left(\frac{P_{y,i}}{\epsilon_{yy,i}} \right) - \frac{\partial}{\partial y} \left(\frac{P_{x,i}}{\epsilon_{xx,i}} \right) \end{bmatrix} \quad (\text{ค.8})$$

แทนสมการ (ค.7) และ (ค.8) ลงใน (ค.6) จะได้

$$\begin{aligned} & \left[\begin{array}{l} \frac{\partial}{\partial y} \left(\frac{1}{\varepsilon_{zz,i}} \frac{\partial H_{y,i}}{\partial x} \right) - \frac{\partial}{\partial y} \left(\frac{1}{\varepsilon_{zz,i}} \frac{\partial H_{x,i}}{\partial y} \right) - \frac{\partial}{\partial z} \left(\frac{1}{\varepsilon_{yy,i}} \frac{\partial H_{x,i}}{\partial x} \right) + \frac{\partial}{\partial z} \left(\frac{1}{\varepsilon_{yy,i}} \frac{\partial H_{z,i}}{\partial x} \right) \\ \frac{\partial}{\partial z} \left(\frac{1}{\varepsilon_{xx,i}} \frac{\partial H_{z,i}}{\partial y} \right) - \frac{\partial}{\partial z} \left(\frac{1}{\varepsilon_{xx,i}} \frac{\partial H_{y,i}}{\partial z} \right) - \frac{\partial}{\partial x} \left(\frac{1}{\varepsilon_{zz,i}} \frac{\partial H_{y,i}}{\partial x} \right) + \frac{\partial}{\partial x} \left(\frac{1}{\varepsilon_{zz,i}} \frac{\partial H_{x,i}}{\partial x} \right) \\ \frac{\partial}{\partial x} \left(\frac{1}{\varepsilon_{yy,i}} \frac{\partial H_{x,i}}{\partial z} \right) - \frac{\partial}{\partial x} \left(\frac{1}{\varepsilon_{yy,i}} \frac{\partial H_{z,i}}{\partial x} \right) - \frac{\partial}{\partial y} \left(\frac{1}{\varepsilon_{xx,i}} \frac{\partial H_{z,i}}{\partial y} \right) + \frac{\partial}{\partial y} \left(\frac{1}{\varepsilon_{xx,i}} \frac{\partial H_{y,i}}{\partial z} \right) \end{array} \right] - k_{0,i}^2 \begin{bmatrix} H_{x,i} \\ H_{y,i} \\ H_{z,i} \end{bmatrix} \\ & = j\omega_i \varepsilon_0 \begin{bmatrix} \frac{\partial}{\partial y} \left(\frac{P_{z,i}}{\varepsilon_{zz,i}} \right) - \frac{\partial}{\partial z} \left(\frac{P_{y,i}}{\varepsilon_{yy,i}} \right) \\ \frac{\partial}{\partial z} \left(\frac{P_{x,i}}{\varepsilon_{xx,i}} \right) - \frac{\partial}{\partial x} \left(\frac{P_{z,i}}{\varepsilon_{zz,i}} \right) \\ \frac{\partial}{\partial x} \left(\frac{P_{y,i}}{\varepsilon_{yy,i}} \right) - \frac{\partial}{\partial y} \left(\frac{P_{x,i}}{\varepsilon_{xx,i}} \right) \end{bmatrix} \end{aligned}$$

สมการคลื่นแบบสเกลาร์สำหรับองค์ประกอบ $H_{x,i}$ จะเป็นดังนี้

$$\begin{aligned} & \frac{\partial}{\partial y} \left(\frac{1}{\varepsilon_{zz,i}} \frac{\partial H_{y,i}}{\partial x} \right) - \frac{\partial}{\partial y} \left(\frac{1}{\varepsilon_{zz,i}} \frac{\partial H_{x,i}}{\partial y} \right) - \frac{\partial}{\partial z} \left(\frac{1}{\varepsilon_{yy,i}} \frac{\partial H_{x,i}}{\partial x} \right) + \frac{\partial}{\partial z} \left(\frac{1}{\varepsilon_{yy,i}} \frac{\partial H_{z,i}}{\partial x} \right) - k_{0,i}^2 H_{x,i} \\ & = j\omega_i \varepsilon_0 \left(\frac{\partial}{\partial y} \left(\frac{P_{z,i}}{\varepsilon_{zz,i}} \right) - \frac{\partial}{\partial z} \left(\frac{P_{y,i}}{\varepsilon_{yy,i}} \right) \right) \end{aligned} \quad (\text{ค.9})$$

สำหรับโหมด E_{mn}^y จะกำหนดให้

$$H_{y,i} \equiv 0 \quad (\text{ค.10})$$

และ $H_{z,i}$ สามารถเขียนได้ในรูปของ $H_{x,i}$ ดังนี้

$$H_{z,i} = \frac{1}{j\beta_i} \frac{\partial H_{x,i}}{\partial x} \quad (\text{ค.11})$$

แทนสมการ (ค.10) และ (ค.11) ลงใน (ค.9) จะได้

$$\frac{1}{\varepsilon_{yy,i}} \frac{\partial^2 H_{x,i}}{\partial x^2} + \frac{\partial}{\partial y} \left(\frac{1}{\varepsilon_{zz,i}} \frac{\partial H_{x,i}}{\partial y} \right) + \frac{\partial}{\partial z} \left(\frac{1}{\varepsilon_{yy,i}} \frac{\partial H_{x,i}}{\partial z} \right) + k_{0,i}^2 H_{x,i} = -j\omega_i \varepsilon_0 \left(\frac{\partial}{\partial y} \left(\frac{P_{z,i}}{\varepsilon_{zz,i}} \right) - \frac{\partial}{\partial z} \left(\frac{P_{y,i}}{\varepsilon_{yy,i}} \right) \right) \quad (\text{ค.12})$$

ภาคผนวก ง

การพิสูจน์สมการของวิธีสเกลาร์ไฟไนต์อิลิเมนต์บีมพรอพาเกชัน

สมการคลื่นแบบสเกลาร์สำหรับขนาดที่มีการเปลี่ยนแปลงอย่างช้าๆ ของสนามหลักในโหมด E_x

จากสมการคลื่นแบบสเกลาร์ (ค.5) สำหรับองค์ประกอบสนามไฟฟ้า E_x คือ

$$\frac{\partial}{\partial x} \left(\frac{\varepsilon_{xx,i}}{\varepsilon_{zz,i}} \frac{\partial E_{x,i}}{\partial x} \right) + \frac{\partial^2 E_{x,i}}{\partial y^2} + \frac{\partial^2 E_{x,i}}{\partial z^2} + k_{0,i}^2 \varepsilon_{xx,i} E_{x,i} = -k_{0,i}^2 P_{x,i} \quad (ง.1)$$

เริ่มต้นจากการพิจารณาพจน์แหล่งกำเนิดของสมการ (ง.1) ก่อน จากรูปชัดแจ้งของโพลาริเซชัน $P_1(x, y, z)$ และ $P_2(x, y, z)$ ในสมการ (ข.23) และ (ข.24) คือ

$$P_1(x, y, z) = \begin{bmatrix} P_{x,1} \\ P_{y,1} \\ P_{z,1} \end{bmatrix} = 2[d] \begin{bmatrix} E_{x,1}^* E_{x,2} \\ E_{y,1}^* E_{y,2} \\ E_{z,1}^* E_{z,2} \\ E_{y,1}^* E_{z,1} + E_{z,1}^* E_{y,2} \\ E_{z,1}^* E_{x,2} + E_{x,1}^* E_{z,2} \\ E_{x,1}^* E_{y,2} + E_{y,1}^* E_{x,2} \end{bmatrix} \quad (ง.2)$$

$$P_2(x, y, z) = \begin{bmatrix} P_{x,2} \\ P_{y,2} \\ P_{z,2} \end{bmatrix} = [d] \begin{bmatrix} (E_{x,1})^2 \\ (E_{y,1})^2 \\ (E_{z,1})^2 \\ 2E_{y,1} E_{z,1} \\ 2E_{z,1} E_{x,1} \\ 2E_{x,1} E_{y,1} \end{bmatrix} \quad (ง.3)$$

ในการจำลองการเคลื่อนที่ของแสงที่เดินทางไปในตัวกลางทางแสงด้วยวิธีบีมพรอพาเกชันนั้น จะสมมติให้สนามไฟฟ้าของ แสงมูลฐาน และ แสงฮาร์มอนิกอันดับสอง อยู่ในรูปผลคูณระหว่าง ขนาดที่มีการเปลี่ยนแปลงอย่างช้าๆ (slowly varying amplitude) และ ปัจจัยทางเฟสที่เปลี่ยนแปลงอย่างรวดเร็ว ดังนี้

$$E_1 = \begin{bmatrix} E_{x,1} \\ E_{y,1} \\ E_{z,1} \end{bmatrix} = \begin{bmatrix} e_{x,1} \\ e_{y,1} \\ e_{z,1} \end{bmatrix} e^{-j\beta_1 z} \quad (ง.4)$$

$$\mathbf{E}_2 = \begin{bmatrix} E_{x,2} \\ E_{y,2} \\ E_{z,2} \end{bmatrix} = \begin{bmatrix} e_{x,2} \\ e_{y,2} \\ e_{z,2} \end{bmatrix} e^{-j\beta_2 z} \quad (ง.5)$$

แทนสมการ (ง.4) และ (ง.5) ลงใน (ง.2) และ (ง.3) จะได้

$$\mathbf{P}_1(x, y, z) = \begin{bmatrix} P_{x,1} \\ P_{y,1} \\ P_{z,1} \end{bmatrix} = 2[d] \begin{bmatrix} e_{x,1}^* e_{x,2} \\ e_{y,1}^* e_{y,2} \\ e_{z,1}^* e_{z,2} \\ e_{y,1}^* e_{z,1} + e_{z,1}^* e_{y,2} \\ e_{z,1}^* e_{x,2} + e_{x,1}^* e_{z,2} \\ e_{x,1}^* e_{y,2} + e_{y,1}^* e_{x,2} \end{bmatrix} e^{-j(\beta_2 - \beta_1)z} = \begin{bmatrix} P_{x,1} \\ P_{y,1} \\ P_{z,1} \end{bmatrix} e^{-j(\beta_2 - \beta_1)z} \quad (ง.6)$$

$$\mathbf{P}_2(x, y, z) = \begin{bmatrix} P_{x,2} \\ P_{y,2} \\ P_{z,2} \end{bmatrix} = [d] \begin{bmatrix} (e_{x,1})^2 \\ (e_{y,1})^2 \\ (e_{z,1})^2 \\ 2e_{y,1}e_{z,1} \\ 2e_{z,1}e_{x,1} \\ 2e_{x,1}e_{y,1} \end{bmatrix} e^{-j2\beta_1 z} = \begin{bmatrix} P_{x,2} \\ P_{y,2} \\ P_{z,2} \end{bmatrix} e^{-j2\beta_1 z} \quad (ง.7)$$

พิจารณากรณี แสงมูลฐาน ($i = 1$) ก่อน โดยแทนสมการ (ง.4) และ (ง.6) ลงใน (ง.1) จะได้

$$\frac{\partial}{\partial x} \left(\frac{\varepsilon_{xx,i}}{\varepsilon_{zz,i}} \frac{\partial e_{x,1}}{\partial x} e^{-j\beta_1 z} \right) + \frac{\partial^2 e_{x,1}}{\partial y^2} e^{-j\beta_1 z} + \frac{\partial^2 e_{x,1}}{\partial z^2} e^{-j\beta_1 z} + k_{0,i}^2 \varepsilon_{xx,i} e_{x,1} e^{-j\beta_1 z} = -k_{0,i}^2 p_{x,1} e^{-j(\beta_2 - \beta_1)z} \quad (ง.8)$$

กำจัดปัจจัยทางเฟสที่เปลี่ยนแปลงอย่างรวดเร็ว ออกจากสมการ (ง.8) และจัดรูปสมการ จะได้สมการคลื่นสำหรับขนาดที่มีการเปลี่ยนแปลงอย่างช้าๆ ขององค์ประกอบสนามไฟฟ้า $E_{x,1}$ ดังนี้

$$\frac{\partial}{\partial x} \left(\frac{\varepsilon_{xx,1}}{\varepsilon_{zz,1}} \frac{\partial e_{x,1}}{\partial x} \right) + \frac{\partial^2 e_{x,1}}{\partial y^2} + \frac{\partial^2 e_{x,1}}{\partial z^2} - j2\beta_1 \frac{\partial e_{x,1}}{\partial x} + (k_{0,1}^2 \varepsilon_{xx,1} - \beta_1^2) e_{x,1} = -k_{0,1}^2 p_{x,1} e^{-j\Delta\beta z} \quad (ง.9)$$

โดยที่ $\Delta\beta$ คือ ปัจจัยการไม่แมตช์กันทางเฟส (phase mismatch factor) ของแสงมูลฐานและแสงฮาร์มอนิกอันดับสอง

ในการทำงานเดียวกันสำหรับ แสงฮาร์มอนิกอันดับสอง แทนสมการ (ง.5) และ (ง.6) ลงใน (ง.1) จะได้สมการคลื่นสำหรับขนาดที่มีการเปลี่ยนแปลงอย่างช้าๆ ขององค์ประกอบสนามไฟฟ้า $E_{x,2}$ ดังนี้

$$\frac{\partial}{\partial x} \left(\frac{\varepsilon_{xx,2}}{\varepsilon_{zz,2}} \frac{\partial e_{x,2}}{\partial x} \right) + \frac{\partial^2 e_{x,2}}{\partial y^2} + \frac{\partial^2 e_{x,2}}{\partial z^2} - j2\beta_2 \frac{\partial e_{x,2}}{\partial x} + (k_{0,2}^2 \varepsilon_{xx,2} - \beta_2^2) e_{x,2} = -k_{0,2}^2 P_{x,2} e^{j\Delta\beta z} \quad (\text{ง.10})$$

สมการคลื่นแบบสเกลาร์สำหรับขนาดที่มีการเปลี่ยนแปลงอย่างช้าๆ ของสนามหลักในโหมด E^y

จากสมการคลื่นแบบสเกลาร์ (ค.12) สำหรับองค์ประกอบสนามแม่เหล็ก H_x คือ

$$\frac{1}{\varepsilon_{yy,i}} \frac{\partial^2 H_{x,i}}{\partial x^2} + \frac{\partial}{\partial y} \left(\frac{1}{\varepsilon_{zz,i}} \frac{\partial H_{x,i}}{\partial y} \right) + \frac{\partial}{\partial z} \left(\frac{1}{\varepsilon_{yy,i}} \frac{\partial H_{x,i}}{\partial z} \right) + k_{0,i}^2 H_{x,i} = -j\omega_i \varepsilon_0 \left(\frac{\partial}{\partial y} \left(\frac{P_{z,i}}{\varepsilon_{zz,i}} \right) - \frac{\partial}{\partial z} \left(\frac{P_{y,i}}{\varepsilon_{yy,i}} \right) \right) \quad (\text{ง.11})$$

สมมติให้สนามแม่เหล็กของ แสงมูลฐาน และ แสงฮาร์มอนิกอันดับสอง อยู่ในรูปผลคูณระหว่าง ขนาดที่มีการเปลี่ยนแปลงอย่างช้าๆ และ ปัจจัยทางเฟสที่เปลี่ยนแปลงอย่างรวดเร็ว ดังนี้

$$\mathbf{H}_1 = \begin{bmatrix} H_{x,1} \\ H_{y,1} \\ H_{z,1} \end{bmatrix} = \begin{bmatrix} h_{x,1} \\ h_{y,1} \\ h_{z,1} \end{bmatrix} e^{-j\beta_1 z} \quad (\text{ง.12})$$

$$\mathbf{H}_2 = \begin{bmatrix} E_{x,2} \\ E_{y,2} \\ E_{z,2} \end{bmatrix} = \begin{bmatrix} e_{x,2} \\ e_{y,2} \\ e_{z,2} \end{bmatrix} e^{-j\beta_2 z} \quad (\text{ง.13})$$

พิจารณากรณี แสงมูลฐาน ($i = 1$) ก่อน โดยแทนสมการ (ง.13) และ (ง.6) ลงใน (ง.11) จะได้

$$\begin{aligned} \frac{1}{\varepsilon_{yy,1}} \frac{\partial^2 h_{x,1} e^{-j\beta_1 z}}{\partial x^2} + \frac{\partial}{\partial y} \left(\frac{1}{\varepsilon_{zz,1}} \frac{\partial h_{x,1} e^{-j\beta_1 z}}{\partial y} \right) + \frac{\partial}{\partial z} \left(\frac{1}{\varepsilon_{yy,1}} \frac{\partial h_{x,1} e^{-j\beta_1 z}}{\partial z} \right) + k_{0,1}^2 h_{x,1} e^{-j\beta_1 z} \\ = -j\omega_1 \varepsilon_0 \left(\frac{\partial}{\partial y} \left(\frac{P_{z,1} e^{-j(\beta_2 - \beta_1)z}}{\varepsilon_{zz,1}} \right) - \frac{\partial}{\partial z} \left(\frac{P_{y,1} e^{-j(\beta_2 - \beta_1)z}}{\varepsilon_{yy,1}} \right) \right) \end{aligned} \quad (\text{ง.14})$$

กำจัดปัจจัยทางเฟสที่เปลี่ยนแปลงอย่างรวดเร็วออกจากสมการ (ง.14) และจัดรูปสมการ จะได้สมการคลื่นสำหรับขนาดที่มีการเปลี่ยนแปลงอย่างช้าๆ ขององค์ประกอบสนามแม่เหล็ก $H_{x,1}$ ดังนี้

$$\begin{aligned} \frac{1}{\varepsilon_{yy,1}} \frac{\partial^2 h_{x,1}}{\partial x^2} + \frac{\partial}{\partial y} \left(\frac{1}{\varepsilon_{zz,1}} \frac{\partial h_{x,1}}{\partial y} \right) + \frac{1}{\varepsilon_{yy,1}} \frac{\partial^2 h_{x,1}}{\partial z^2} + -j2\beta_1 \frac{1}{\varepsilon_{yy,1}} \frac{\partial h_{x,1}}{\partial y} + \left(k_{0,1}^2 - \frac{\beta_1^2}{\varepsilon_{yy,1}} \right) h_{x,1} \\ = - \left(j\omega_1 \varepsilon_0 \frac{\partial}{\partial y} \left(\frac{p_{z,1}}{\varepsilon_{zz,1}} \right) - \frac{\omega_1 \varepsilon_0 (\beta_2 - \beta_1)}{\varepsilon_{yy,1}} p_{y,1} \right) e^{-j\Delta\beta z} \end{aligned} \quad (จ.15)$$

ในการทำงานเดียวกันสำหรับ แสงฮาร์มอนิกอันดับสอง ($i = 2$) แทนสมการ (จ.13) และ (จ.7) ลงใน (จ.11) จะได้สมการคลื่นสำหรับขนาดที่มีการเปลี่ยนแปลงอย่างช้าๆ ขององค์ประกอบสนามแม่เหล็ก $H_{x,2}$ ดังนี้

$$\begin{aligned} \frac{1}{\varepsilon_{yy,2}} \frac{\partial^2 h_{x,2} e^{-j\beta_2 z}}{\partial x^2} + \frac{\partial}{\partial y} \left(\frac{1}{\varepsilon_{zz,2}} \frac{\partial h_{x,2} e^{-j\beta_2 z}}{\partial y} \right) + \frac{\partial}{\partial z} \left(\frac{1}{\varepsilon_{yy,2}} \frac{\partial h_{x,2} e^{-j\beta_2 z}}{\partial z} \right) + k_{0,2}^2 h_{x,2} e^{-j\beta_2 z} \\ = -j\omega_2 \varepsilon_0 \left(\frac{\partial}{\partial y} \left(\frac{p_{z,2} e^{-j2\beta_1 z}}{\varepsilon_{zz,2}} \right) - \frac{\partial}{\partial z} \left(\frac{p_{y,2} e^{-j2\beta_1 z}}{\varepsilon_{yy,2}} \right) \right) \end{aligned} \quad (จ.16)$$

กำจัด ปัจจัยทางเฟสที่เปลี่ยนแปลงอย่างรวดเร็ว ออกจากสมการ (จ.16) และจัดรูปสมการ จะได้สมการคลื่นสำหรับขนาดที่มีการเปลี่ยนแปลงอย่างช้าๆ ขององค์ประกอบสนามแม่เหล็ก $H_{x,2}$ ดังนี้

$$\begin{aligned} \frac{1}{\varepsilon_{yy,2}} \frac{\partial^2 h_{x,2}}{\partial x^2} + \frac{\partial}{\partial y} \left(\frac{1}{\varepsilon_{zz,2}} \frac{\partial h_{x,2}}{\partial y} \right) + \frac{1}{\varepsilon_{yy,2}} \frac{\partial^2 h_{x,2}}{\partial z^2} + -j2\beta_2 \frac{1}{\varepsilon_{yy,2}} \frac{\partial h_{x,2}}{\partial y} + \left(k_{0,2}^2 - \frac{\beta_2^2}{\varepsilon_{yy,2}} \right) h_{x,2} \\ = - \left(j\omega_2 \varepsilon_0 \frac{\partial}{\partial y} \left(\frac{p_{z,2}}{\varepsilon_{zz,2}} \right) - \frac{\omega_2 \varepsilon_0 2\beta_1}{\varepsilon_{yy,2}} p_{y,2} \right) e^{j\Delta\beta z} \end{aligned} \quad (จ.17)$$

สรุป สมการคลื่นแบบสเกลาร์สำหรับขนาดที่มีการเปลี่ยนแปลงอย่างช้าๆ สำหรับสนามหลักในโหมด E^x และ E^y เป็นดังนี้

โหมด E^x

$$\frac{\partial}{\partial x} \left(\frac{\varepsilon_{xx,1}}{\varepsilon_{zz,1}} \frac{\partial e_{x,1}}{\partial x} \right) + \frac{\partial^2 e_{x,1}}{\partial y^2} + \frac{\partial^2 e_{x,1}}{\partial z^2} - j2\beta_1 \frac{\partial e_{x,1}}{\partial x} + (k_{0,1}^2 \varepsilon_{xx,1} - \beta_1^2) e_{x,1} = -k_{0,1}^2 p_{x,1} e^{-j\Delta\beta z} \quad (จ.18)$$

$$\frac{\partial}{\partial x} \left(\frac{\varepsilon_{xx,2}}{\varepsilon_{zz,2}} \frac{\partial e_{x,2}}{\partial x} \right) + \frac{\partial^2 e_{x,2}}{\partial y^2} + \frac{\partial^2 e_{x,2}}{\partial z^2} - j2\beta_2 \frac{\partial e_{x,2}}{\partial x} + (k_{0,2}^2 \varepsilon_{xx,2} - \beta_2^2) e_{x,2} = -k_{0,2}^2 p_{x,2} e^{j\Delta\beta z} \quad (จ.19)$$

โหมด E^y

$$\begin{aligned} \frac{1}{\varepsilon_{yy,1}} \frac{\partial^2 h_{x,1}}{\partial x^2} + \frac{\partial}{\partial y} \left(\frac{1}{\varepsilon_{zz,1}} \frac{\partial h_{x,1}}{\partial y} \right) + \frac{1}{\varepsilon_{yy,1}} \frac{\partial^2 h_{x,1}}{\partial z^2} - j2\beta_1 \frac{1}{\varepsilon_{yy,1}} \frac{\partial h_{x,1}}{\partial y} + \left(k_{0,1}^2 - \frac{\beta_1^2}{\varepsilon_{yy,1}} \right) h_{x,1} \\ = - \left(j\omega_1 \varepsilon_0 \frac{\partial}{\partial y} \left(\frac{p_{z,1}}{\varepsilon_{zz,1}} \right) - \frac{\omega_1 \varepsilon_0 (\beta_2 - \beta_1)}{\varepsilon_{yy,1}} p_{y,1} \right) e^{-j\Delta\beta z} \end{aligned} \quad (จ.20)$$

$$\begin{aligned} \frac{1}{\varepsilon_{yy,2}} \frac{\partial^2 h_{x,2}}{\partial x^2} + \frac{\partial}{\partial y} \left(\frac{1}{\varepsilon_{zz,2}} \frac{\partial h_{x,2}}{\partial y} \right) + \frac{1}{\varepsilon_{yy,2}} \frac{\partial^2 h_{x,2}}{\partial z^2} - j2\beta_2 \frac{1}{\varepsilon_{yy,2}} \frac{\partial h_{x,2}}{\partial y} + \left(k_{0,2}^2 - \frac{\beta_2^2}{\varepsilon_{yy,2}} \right) h_{x,2} \\ = - \left(j\omega_2 \varepsilon_0 \frac{\partial}{\partial y} \left(\frac{p_{z,2}}{\varepsilon_{zz,2}} \right) - \frac{\omega_2 \varepsilon_0 2\beta_1}{\varepsilon_{yy,2}} p_{y,2} \right) e^{j\Delta\beta z} \end{aligned} \quad (จ.21)$$

การประมาณพจน์อนุพันธ์เทียบระยะทางในภาคตัดขวางสำหรับท่อนำคลื่นแสงแบบดรรชนีลาด

ท่อนำคลื่นแสงแบบดรรชนีลาดจะมีค่าดัชนีหักเหแสงแปรตามระยะทางในภาคตัดขวาง โดยทั่วไปค่าดัชนีหักเหแสงนี้มักจะแปรตามระยะทางอย่างช้าๆ โดยสอดคล้องกับสมมุติฐาน ดังต่อไปนี้

$$\frac{\nabla_t(n^2)}{n^2} \approx 0 \quad (จ.22)$$

ดังนั้น พจน์อนุพันธ์ในสมการ (จ.18) ถึง (จ.21) จะประมาณได้ดังนี้

$$\frac{\partial}{\partial x} \left(\frac{\varepsilon_{xx,1}}{\varepsilon_{zz,1}} \frac{\partial e_{x,1}}{\partial x} \right) = \frac{\varepsilon_{xx,1}}{\varepsilon_{zz,1}} \frac{\partial^2 e_{x,1}}{\partial x^2} + \frac{\partial}{\partial x} \left(\frac{\varepsilon_{xx,1}}{\varepsilon_{zz,1}} \right) \frac{\partial e_{x,1}}{\partial x} \approx \frac{\varepsilon_{xx,1}}{\varepsilon_{zz,1}} \frac{\partial^2 e_{x,1}}{\partial x^2} \quad (จ.23)$$

$$\frac{\partial}{\partial x} \left(\frac{\varepsilon_{xx,2}}{\varepsilon_{zz,2}} \frac{\partial e_{x,1}}{\partial x} \right) = \frac{\varepsilon_{xx,1}}{\varepsilon_{zz,1}} \frac{\partial^2 e_{x,1}}{\partial x^2} + \frac{\partial}{\partial x} \left(\frac{\varepsilon_{xx,1}}{\varepsilon_{zz,1}} \right) \frac{\partial e_{x,1}}{\partial x} \approx \frac{\varepsilon_{xx,1}}{\varepsilon_{zz,1}} \frac{\partial^2 e_{x,1}}{\partial x^2} \quad (จ.24)$$

$$\frac{\partial}{\partial y} \left(\frac{1}{\varepsilon_{zz,1}} \frac{\partial h_{x,1}}{\partial y} \right) = \frac{1}{\varepsilon_{zz,1}} \frac{\partial^2 h_{x,1}}{\partial y^2} + \frac{\partial}{\partial y} \left(\frac{1}{\varepsilon_{zz,1}} \right) \frac{\partial h_{x,1}}{\partial y} \approx \frac{1}{\varepsilon_{zz,1}} \frac{\partial^2 h_{x,1}}{\partial y^2} \quad (จ.25)$$

$$\frac{\partial}{\partial y} \left(\frac{1}{\varepsilon_{zz,2}} \frac{\partial h_{x,2}}{\partial y} \right) = \frac{1}{\varepsilon_{zz,2}} \frac{\partial^2 h_{x,2}}{\partial y^2} + \frac{\partial}{\partial y} \left(\frac{1}{\varepsilon_{zz,2}} \right) \frac{\partial h_{x,2}}{\partial y} \approx \frac{1}{\varepsilon_{zz,2}} \frac{\partial^2 h_{x,2}}{\partial y^2} \quad (จ.26)$$

แทนสมการ (ง.23) ถึง (ง.26) ลงใน (ง.18) ถึง (ง.21) จะได้

$$\frac{\varepsilon_{xx,1}}{\varepsilon_{zz,1}} \frac{\partial^2 e_{x,1}}{\partial x^2} + \frac{\partial^2 e_{x,1}}{\partial y^2} + \frac{\partial^2 e_{x,1}}{\partial z^2} - j2\beta_1 \frac{\partial e_{x,1}}{\partial x} + (k_{0,1}^2 \varepsilon_{xx,1} - \beta_1^2) e_{x,1} = -k_{0,1}^2 p_{x,1} e^{-j\Delta\beta z} \quad (\text{ง.27})$$

$$\frac{\varepsilon_{xx,1}}{\varepsilon_{zz,1}} \frac{\partial^2 e_{x,1}}{\partial x^2} + \frac{\partial^2 e_{x,2}}{\partial y^2} + \frac{\partial^2 e_{x,2}}{\partial z^2} - j2\beta_2 \frac{\partial e_{x,2}}{\partial x} + (k_{0,2}^2 \varepsilon_{xx,2} - \beta_2^2) e_{x,2} = -k_{0,2}^2 p_{x,2} e^{j\Delta\beta z} \quad (\text{ง.28})$$

และ

$$\begin{aligned} \frac{1}{\varepsilon_{yy,1}} \frac{\partial^2 h_{x,1}}{\partial x^2} + \frac{1}{\varepsilon_{zz,1}} \frac{\partial^2 h_{x,1}}{\partial y^2} + \frac{1}{\varepsilon_{yy,1}} \frac{\partial^2 h_{x,1}}{\partial z^2} - j2\beta_1 \frac{1}{\varepsilon_{yy,1}} \frac{\partial h_{x,1}}{\partial y} + \left(k_{0,1}^2 - \frac{\beta_1^2}{\varepsilon_{yy,1}} \right) h_{x,1} \\ = - \left(j\omega_1 \varepsilon_0 \frac{\partial}{\partial y} \left(\frac{p_{z,1}}{\varepsilon_{zz,1}} \right) - \frac{\omega_1 \varepsilon_0 (\beta_2 - \beta_1)}{\varepsilon_{yy,1}} p_{y,1} \right) e^{-j\Delta\beta z} \end{aligned} \quad (\text{ง.29})$$

$$\begin{aligned} \frac{1}{\varepsilon_{yy,2}} \frac{\partial^2 h_{x,2}}{\partial x^2} + \frac{1}{\varepsilon_{zz,2}} \frac{\partial^2 h_{x,2}}{\partial y^2} + \frac{1}{\varepsilon_{yy,2}} \frac{\partial^2 h_{x,2}}{\partial z^2} - j2\beta_2 \frac{1}{\varepsilon_{yy,2}} \frac{\partial h_{x,2}}{\partial y} + \left(k_{0,2}^2 - \frac{\beta_2^2}{\varepsilon_{yy,2}} \right) h_{x,2} \\ = - \left(j\omega_2 \varepsilon_0 \frac{\partial}{\partial y} \left(\frac{p_{z,2}}{\varepsilon_{zz,2}} \right) - \frac{\omega_2 \varepsilon_0 2\beta_1}{\varepsilon_{yy,2}} p_{y,2} \right) e^{j\Delta\beta z} \end{aligned} \quad (\text{ง.30})$$

รูปแบบหนึ่งของสมการคลื่นแบบสเกลาร์สำหรับขนาดที่มีการเปลี่ยนแปลงอย่างช้าๆ ของสนามหลักในโหมด E^x และ E^y

สมการ (ง.27) ถึง (ง.30) สามารถเขียนได้ในรูป หนึ่งเดียว ดังนี้

$$p_{x,i} \frac{\partial^2 \phi_i}{\partial x^2} + p_{y,i} \frac{\partial^2 \phi_i}{\partial y^2} + p_{z,i} \frac{\partial^2 \phi_i}{\partial z^2} - j2\beta_i p_{z,i} \frac{\partial \phi_i}{\partial z} + (k_{0,i}^2 q_i + \beta_i^2 p_{z,i}) \phi_i = -S_i \quad (\text{ง.31})$$

โดยที่ i เท่ากับ 1 และ 2 สำหรับแสงมูลฐานและแสงฮาร์มอนิกอันดับสอง ตามลำดับ

สำหรับ โหมด E^x

$$\phi_i = e_{x,i} \quad (\text{ง.32})$$

$$p_{x,i} = \frac{\varepsilon_{xx,i}}{\varepsilon_{zz,i}}, \quad p_{y,i} = 1, \quad p_{z,i} = 1 \quad (\text{ง.33})$$

$$q_i = \varepsilon_{xx,i} \quad (จ.34)$$

$$S_1 = k_{0,1}^2 p_{x,1} e^{-j\Delta\beta z} \quad (จ.35)$$

$$S_1 = k_{0,2}^2 p_{x,2} e^{j\Delta\beta z} \quad (จ.36)$$

สำหรับ โมด E^y

$$\phi_i = h_{x,i} \quad (จ.37)$$

$$p_{x,i} = \frac{1}{\varepsilon_{yy,i}} \quad , \quad p_{y,i} = \frac{1}{\varepsilon_{zz,i}} \quad , \quad p_{z,i} = \frac{1}{\varepsilon_{yy,i}} \quad (จ.38)$$

$$q_i = 1 \quad (จ.39)$$

$$S_1 = \left(j\omega_1 \varepsilon_0 \frac{\partial}{\partial y} \left(\frac{p_{z,1}}{\varepsilon_{zz,1}} \right) - \frac{\omega_1 \varepsilon_0 (\beta_2 - \beta_1)}{\varepsilon_{yy,1}} p_{y,1} \right) e^{-j\Delta\beta z} \quad (จ.40)$$

$$S_1 = \left(j\omega_2 \varepsilon_0 \frac{\partial}{\partial y} \left(\frac{p_{z,2}}{\varepsilon_{zz,2}} \right) - \frac{\omega_2 \varepsilon_0 2\beta_1}{\varepsilon_{yy,2}} p_{y,2} \right) e^{j\Delta\beta z} \quad (จ.41)$$

ศูนย์วิทยทรัพยากร
จุฬาลงกรณ์มหาวิทยาลัย

ภาคผนวก จ

การพิสูจน์สมการของ วิธีเวกเตอร์ไฟไนต์อีลีเมนต์บิมพรอพาเกชัน

จากสมการคลื่นแบบเวกเตอร์สำหรับวิเคราะห์การกำเนิดแสงฮาร์มอนิกอันดับสองในภาคผนวก ค (ข.33) คือ

$$\nabla \times \nabla \times \mathbf{E}_i(x, y, z) - k_{0,i}^2 [\epsilon_{r,i}] \cdot \mathbf{E}_i(x, y, z) = 2k_{0,i}^2 \mathbf{P}_i(x, y, z) \quad (จ.1)$$

โดยที่ i เท่ากับ 1 และ 2 สำหรับแสงมูลฐานและแสงฮาร์มอนิกอันดับสอง ตามลำดับ และ

$$\mathbf{P}_1(x, y, z) = [d]: \mathbf{E}_1^*(x, y, z) \mathbf{E}_2(x, y, z) \quad (จ.2)$$

$$\mathbf{P}_2(x, y, z) = [d]: \mathbf{E}_1(x, y, z) \mathbf{E}_1(x, y, z) \quad (จ.3)$$

การสร้างสมการสำหรับวิเคราะห์การกำเนิดแสงฮาร์มอนิกอันดับสอง

การหาผลเฉลยของสมการ (จ.1) โดย วิธีแยกตัวดำเนินการ (operator splitting method) ซึ่งประกอบไปด้วยขั้นตอนที่ต่อเนื่องกัน ดังนี้

ขั้นตอนที่ 1 พิจารณาเฉพาะผลของคลื่นแสงเคลื่อนที่ (propagation effect)

ในขั้นตอนนี้จะกำหนดให้พจน์แหล่งกำเนิดทางด้านขวามือของสมการ (จ.1) มีค่าเป็นศูนย์ จะได้

$$\nabla \times \nabla \times \mathbf{E}_i(x, y, z) - k_{0,i}^2 [\epsilon_{r,i}] \cdot \mathbf{E}_i(x, y, z) = 0 \quad (จ.4)$$

จัดรูปสมการคลื่นแบบเวกเตอร์ (จ.4) เพื่อให้เหมาะสมสำหรับการหาผลเฉลยโดยประมาณด้วย วิธีไฟไนต์อีลีเมนต์ ในภายหลัง จากสมการ (จ.4) กำหนดให้

$$\nabla = \nabla_t + \mathbf{a}_z \frac{\partial}{\partial z} \quad (จ.5)$$

$$\mathbf{E}_i = \mathbf{E}_{t,i} + \mathbf{a}_z E_{z,i} \quad (จ.6)$$

แทนสมการ (จ.5) และ (จ.6) ลงใน (จ.4) จะได้

$$\left(\nabla_t + \mathbf{a}_z \frac{\partial}{\partial z} \right) \times \left[\nabla_t \times \mathbf{E}_{t,i} + \nabla_t \times \mathbf{a}_z E_{z,i} + \mathbf{a}_z \frac{\partial}{\partial z} \times \mathbf{E}_{t,i} + \mathbf{a}_z \frac{\partial}{\partial z} \times \bar{a}_z E_{z,i} \right] - k_{0,i}^2 [\varepsilon_{r,i}] (\mathbf{E}_{t,i} + \mathbf{a}_z E_{z,i}) = 0 \quad (9.7)$$

สมการ (9.7) สามารถแยกออกได้เป็นสองส่วน คือ สมการสำหรับองค์ประกอบในแนวขวางและแนวเคลื่อนที่ ดังนี้

$$\nabla_t \times \nabla_t \times \mathbf{E}_{t,i} + \frac{\partial}{\partial z} (\nabla_t E_{z,i}) - \frac{\partial^2 \mathbf{E}_{t,i}}{\partial z^2} - k_{0,i}^2 [\varepsilon_{r,i}] \mathbf{E}_{t,i} = 0 \quad (9.8)$$

$$\nabla_t \cdot (\nabla_t E_{z,i}) - \frac{\partial}{\partial z} (\nabla_t \cdot \mathbf{E}_{t,i}) + k_{0,i}^2 [\varepsilon_{r,i}] E_{z,i} = 0 \quad (9.9)$$

สมมติให้ผลเฉลยโดยประมาณของสนามไฟฟ้าในแต่ละอีลีเมนต์อยู่ในรูปของผลคูณของ ฟังก์ชันรูปร่าง กับ ตัวแปรไม่ทราบค่า ดังนี้

$$\mathbf{E}_{t,i} = \mathbf{a}_x \{U\}^T \{\tilde{e}_{t,i}^e\} + \mathbf{a}_y \{V\}^T \{\tilde{e}_{t,i}^e\} \quad (9.10)$$

$$E_{z,i} = j \{N\}^T \{\tilde{e}_{z,i}^e\} \quad (9.11)$$

เมื่อ $\{\tilde{e}_{t,i}^e\}$ คือ เวกเตอร์แนวตั้งของตัวแปรไม่ทราบค่าที่อยู่บนขอบของอีลีเมนต์ $\{\tilde{e}_{z,i}^e\}$ คือ เวกเตอร์คอลัมน์ของตัวแปรไม่ทราบค่าที่จุดโนดของอีลีเมนต์ $\{U\}$ และ $\{V\}$ คือ ฟังก์ชันรูปร่างแบบเวกเตอร์ของสนามไฟฟ้าในทิศ x และ y ตามลำดับ และ $\{N\}$ คือ ฟังก์ชันรูปร่างแบบสเกลาร์ของสนามไฟฟ้าในทิศ z

การแทนผลเฉลยโดยประมาณ คือ สมการ (9.10) และ (9.11) ลงในสมการเชิงอนุพันธ์ (9.8) และ (9.9) จะก่อให้เกิดเศษตกค้าง (residual) R นั่นคือ

$$\begin{aligned} \nabla_t \times \nabla_t \times (\mathbf{a}_x \{U\}^T \{\tilde{e}_{t,i}^e\} + \mathbf{a}_y \{V\}^T \{\tilde{e}_{t,i}^e\}) + \frac{\partial}{\partial z} (\nabla_t j \{N\}^T \{\tilde{e}_{z,i}^e\}) \\ - \frac{\partial^2 (\mathbf{a}_x \{U\}^T \{\tilde{e}_{t,i}^e\} + \mathbf{a}_y \{V\}^T \{\tilde{e}_{t,i}^e\})}{\partial z^2} - k_{0,i}^2 [\varepsilon_{r,i}] (\mathbf{a}_x \{U\}^T \{\tilde{e}_{t,i}^e\} + \mathbf{a}_y \{V\}^T \{\tilde{e}_{t,i}^e\}) = R \end{aligned} \quad (9.12)$$

$$\nabla_t \cdot (\nabla_t j \{N\}^T \{\tilde{e}_{z,i}^e\}) - \frac{\partial}{\partial z} (\nabla_t \cdot \bar{a}_x \{U\}^T \{\tilde{e}_{t,i}^e\} + \bar{a}_y \{V\}^T \{\tilde{e}_{t,i}^e\}) + k_{0,i}^2 [\varepsilon_{r,i}] j \{N\}^T \{\tilde{e}_{z,i}^e\} = R$$

$$(9.13)$$

การถ่วงน้ำหนักสมการ (จ.12) ด้วยฟังก์ชันรูปร่างแบบเวกเตอร์ (vector shape function) W_i และถ่วงน้ำหนักสมการ (จ.13) ด้วยฟังก์ชันรูปร่างแบบสเกลาร์ (scalar shape function) W_z จากนั้นอินทิเกรตสมการที่ได้ทั่วบริเวณอีลีเมนต์ Ω^e และกำหนดผลที่ได้ให้เท่ากับ ศูนย์ นั่นคือ

$$\begin{aligned} & \iint_{\Omega^e} W_i \cdot \nabla_i \times \nabla_i \times (\mathbf{a}_x \{U\}^T \{\tilde{e}_{i,i}^e\} + \mathbf{a}_y \{V\}^T \{\tilde{e}_{i,i}^e\}) dx dy + \iint_{\Omega^e} W_i \cdot \frac{\partial}{\partial z} (\nabla_i j \{N\}^T \{\tilde{e}_{z,i}^e\}) dx dy \\ & - \iint_{\Omega^e} W_i \cdot \frac{\partial^2 (\mathbf{a}_x \{U\}^T \{\tilde{e}_{i,i}^e\} + \mathbf{a}_y \{V\}^T \{\tilde{e}_{i,i}^e\})}{\partial z^2} dx dy - \iint_{\Omega^e} W_i \cdot k_{0,i}^2 [\varepsilon_{r,i} (\mathbf{a}_x \{U\}^T \{\tilde{e}_{i,i}^e\} + \mathbf{a}_y \{V\}^T \{\tilde{e}_{i,i}^e\})] dx dy = 0 \end{aligned} \quad (จ.14)$$

$$\begin{aligned} & \iint_{\Omega^e} W_z \nabla_i \cdot (\nabla_i j \{N\}^T \{\tilde{e}_{z,i}^e\}) dx dy - \iint_{\Omega^e} W_z \frac{\partial}{\partial z} (\nabla_i \cdot (\bar{\mathbf{a}}_x \{U\}^T \{\tilde{e}_{i,i}^e\} + \bar{\mathbf{a}}_y \{V\}^T \{\tilde{e}_{i,i}^e\})) dx dy \\ & + \iint_{\Omega^e} W_z k_{0,i}^2 [\varepsilon_{r,i} (j \{N\}^T \{\tilde{e}_{z,i}^e\})] dx dy = 0 \end{aligned} \quad (จ.15)$$

ดำเนินการตาม วิธีของกาเลอร์คิน (Galerkin's method) โดยเลือกฟังก์ชันถ่วงน้ำหนักให้มีรูปแบบเดียวกันกับ ฟังก์ชันรูปร่าง ดังนี้

$$W_i = \mathbf{a}_x \{U\} + \mathbf{a}_y \{V\} \quad (จ.16)$$

$$W_z = j \{N\} \quad (จ.17)$$

แทนสมการ (จ.16) และ (จ.17) ลงในสมการ (จ.14) และ (จ.15) และดำเนินการทางคณิตศาสตร์ เพื่อจัดรูปพจน์ต่างๆ ของสมการดังกล่าว สุดท้ายจะได้

$$\begin{aligned} & \iint_{\Omega^e} (\{U_y\} \{U_y\}^T + \{V_x\} \{V_x\}^T - \{U_y\} \{V_x\}^T - \{V_x\} \{U_y\}^T) dx dy \{\tilde{e}_{i,i}^e\} \\ & + j \frac{\partial}{\partial z} \iint_{\Omega^e} (\{U\} \{N_x\}^T + \{V\} \{N_y\}^T) dx dy \{\tilde{e}_{z,i}^e\} - \frac{\partial^2}{\partial z^2} \iint_{\Omega^e} (\{U\} \{U\}^T + \{V\} \{V\}^T) dx dy \{\tilde{e}_{i,i}^e\} \\ & - k_{0,i}^2 \iint_{\Omega^e} (\varepsilon_{x,i} \{U\} \{U\}^T + \varepsilon_{y,i} \{V\} \{V\}^T) dx dy \{\tilde{e}_{i,i}^e\} = 0 \end{aligned} \quad (จ.18)$$

$$\iint_{\Omega^e} (\{N_x\}\{N_x\}^T + \{N_y\}\{N_y\}^T) dx dy \{\tilde{e}_{z,i}^e\} + j \frac{\partial}{\partial z} \iint_{\Omega^e} (\{N_x\}\{U\}^T + \{N_y\}\{V\}^T) dx dy \{\tilde{e}_{z,i}^e\} - k_{0,i}^2 \iint_{\Omega^e} \varepsilon_{z,i} \{N\}\{N\}^T dx dy \{\tilde{e}_{z,i}^e\} = 0 \quad (จ.19)$$

โดยที่ ตัวห้อย x และ y จะบ่งบอกถึงการหาค่าอนุพันธ์ย่อยเทียบตัวแปร x และ y ตามลำดับ

การนำสมการ (จ.18) และ (จ.19) ไปใช้ในการคำนวณนั้นจะมีปัญหาเกี่ยวกับเสถียรภาพของการคำนวณ (calculation stability) ซึ่งส่งผลให้ผลเฉลยที่ได้ลู่ออก Schulz et al. (1998) แนะนำให้แปลงตัวแปรองค์ประกอบสนามในแนวเคลื่อนที่ก่อนที่จะนำสมการทั้งสองไปใช้ในการคำนวณ โดยการกำหนดให้

$$E_{z,i} = j \frac{\partial E'_{z,i}}{\partial z} \quad (จ.20)$$

ดังนั้น องค์ประกอบสนามไฟฟ้าในแนวเคลื่อนที่จะกลายเป็น

$$E_{z,i} = j \{N\}^T \{\tilde{e}_{z,i}^e\} = j \left(j \frac{\partial \{N\}^T}{\partial z} \right) \{\tilde{e}'_{z,i}^e\} \quad (จ.21)$$

จากสมการ (จ.21) จะเห็นได้ว่าการแปลงตัวแปรองค์ประกอบสนามไฟฟ้าในแนวจะสมมูลกับการแทน $\{N\}^T$ ด้วย $j \frac{\partial \{N\}^T}{\partial z}$ นั้นเอง แทนฟังก์ชันรูปร่าง $\{N\}^T$ ในสมการ (จ.18) และ (จ.19) ด้วย $j \frac{\partial \{N\}^T}{\partial z}$ จะได้

$$\iint_{\Omega^e} (\{U_y\}\{U_y\}^T + \{V_x\}\{V_x\}^T - \{U_y\}\{V_x\}^T - \{V_x\}\{U_y\}^T) dx dy \{\tilde{e}_{z,i}^e\} - \frac{\partial}{\partial z} \iint_{\Omega^e} \left(\{U\} \frac{\partial \{N_x\}^T}{\partial z} + \{V\} \frac{\partial \{N_y\}^T}{\partial z} \right) dx dy \{\tilde{e}_{z,i}^e\} - \frac{\partial^2}{\partial z^2} \iint_{\Omega^e} (\{U\}\{U\}^T + \{V\}\{V\}^T) dx dy \{\tilde{e}_{z,i}^e\} - k_{0,i}^2 \iint_{\Omega^e} (\varepsilon_{x,i} \{U\}\{U\}^T + \varepsilon_{y,i} \{V\}\{V\}^T) dx dy \{\tilde{e}_{z,i}^e\} = 0 \quad (จ.22)$$

$$\iint_{\Omega^e} \left(\frac{\partial \{N_x\}}{\partial z} \frac{\partial \{N_x\}^T}{\partial z} + \frac{\partial \{N_y\}}{\partial z} \frac{\partial \{N_y\}^T}{\partial z} \right) dx dy \{e_{z,i}^e\} + \frac{\partial}{\partial z} \iint_{\Omega^e} \left(\frac{\partial \{N_x\}}{\partial z} \{U\}^T + \{N_y\} \frac{\partial \{V\}^T}{\partial z} \right) dx dy \{e_{t,i}^e\} - k_{0,i}^2 \iint_{\Omega^e} \varepsilon_{z,i} \frac{\partial \{N\}}{\partial z} \frac{\partial \{N\}^T}{\partial z} dx dy \{e_{z,i}^e\} = 0 \quad (9.23)$$

สมมติให้สนามไฟฟ้าของแสงดังกล่าวอยู่ในรูปผลคูณระหว่าง ขนาดที่มีการเปลี่ยนแปลงอย่างช้าๆ (slowly varying amplitude) และ ปัจจัยทางเฟสที่เปลี่ยนแปลงอย่างรวดเร็ว ดังนี้

$$\begin{bmatrix} \{e_{t,i}^e\} \\ \{e_{z,i}^e\} \end{bmatrix} = \begin{bmatrix} \{e_{t,i}^e\} e^{-j\beta_i z} \\ \{e_{z,i}^e\} e^{-j\beta_i z} \end{bmatrix} \quad (9.24)$$

แทนสมการ (9.24) ลงใน (9.22) และ (9.23) จะได้

$$\begin{aligned} & \iint_{\Omega^e} (\{U\}\{U\}^T + \{V\}\{V\}^T - \{U\}\{V\}^T - \{V\}\{U\}^T) dx dy \{e_{t,i}^e\} e^{-j\beta_i z} \\ & - \iint_{\Omega^e} (\{U\}\{N_x\}^T + \{V\}\{N_y\}^T) dx dy \frac{\partial^2 (\{e_{z,i}^e\} e^{-j\beta_i z})}{\partial z^2} \\ & - \iint_{\Omega^e} (\{U\}\{U\}^T + \{V\}\{V\}^T) dx dy \frac{\partial^2 (\{e_{t,i}^e\} e^{-j\beta_i z})}{\partial z} \\ & - k_{0,i}^2 \iint_{\Omega^e} (\varepsilon_{x,i} \{U\}\{U\}^T + \varepsilon_{y,i} \{V\}\{V\}^T) dx dy \{e_{t,i}^e\} e^{-j\beta_i z} = 0 \end{aligned} \quad (9.25)$$

$$\begin{aligned} & \iint_{\Omega^e} (\{N_x\}\{N_x\}^T + \{N_y\}\{N_y\}^T) dx dy \frac{\partial^2 (\{e_{z,i}^e\} e^{-j\beta_i z})}{\partial z^2} \\ & + \iint_{\Omega^e} (\{N_x\}\{U\}^T + \{N_y\}\{V\}^T) dx dy \frac{\partial^2 (\{e_{t,i}^e\} e^{-j\beta_i z})}{\partial z^2} \\ & - k_{0,i}^2 \iint_{\Omega^e} \varepsilon_{z,i} \{N\}\{N\}^T dx dy \frac{\partial^2 (\{e_{z,i}^e\} e^{-j\beta_i z})}{\partial z^2} = 0 \end{aligned} \quad (9.26)$$

พิจารณาพจน์อนุพันธ์เทียบกับแปร z

$$\frac{\partial (\{e_{t,i}^e\} e^{-j\beta_i z})}{\partial z} = -j\beta_i \{e_{t,i}^e\} e^{-j\beta_i z} + \frac{\partial \{e_{t,i}^e\}}{\partial z} e^{-j\beta_i z} \quad (9.27)$$

$$\frac{\partial^2 (\{e_{t,i}^e\} e^{-j\beta_i z})}{\partial z^2} = -\beta_i^2 \{e_{t,i}^e\} e^{-j\beta_i z} - 2j\beta_i \frac{\partial \{e_{t,i}^e\}}{\partial z} e^{-j\beta_i z} + \frac{\partial^2 \{e_{t,i}^e\}}{\partial z^2} e^{-j\beta_i z} \quad (จ.28)$$

$$\frac{\partial (\{e_{z,i}^e\} e^{-j\beta_i z})}{\partial z} = -j\beta_i \{e_{z,i}^e\} e^{-j\beta_i z} + \frac{\partial \{e_{z,i}^e\}}{\partial z} e^{-j\beta_i z} \quad (จ.29)$$

$$\frac{\partial^2 (\{e_{z,i}^e\} e^{-j\beta_i z})}{\partial z^2} = -\beta_i^2 \{e_{z,i}^e\} e^{-j\beta_i z} - 2j\beta_i \frac{\partial \{e_{z,i}^e\}}{\partial z} e^{-j\beta_i z} + \frac{\partial^2 \{e_{z,i}^e\}}{\partial z^2} e^{-j\beta_i z} \quad (จ.30)$$

แทนสมการ (จ.27) ถึง (จ.30) ลงใน (จ.25) และ (จ.26) จะได้

$$\begin{aligned} & \iint_{\Omega^e} (\{U_y\}\{U_y\}^T + \{V_x\}\{V_x\}^T - \{U_y\}\{V_x\}^T - \{V_x\}\{U_y\}^T) dx dy \{e_{t,i}^e\} e^{-j\beta_i z} \\ & - \iint_{\Omega^e} (\{U\}\{N_x\}^T + \{V\}\{N_y\}^T) dx dy \left(-\beta_i^2 \{e_{z,i}^e\} e^{-j\beta_i z} - 2j\beta_i \frac{\partial \{e_{z,i}^e\}}{\partial z} e^{-j\beta_i z} + \frac{\partial^2 \{e_{z,i}^e\}}{\partial z^2} e^{-j\beta_i z} \right) \\ & - \iint_{\Omega^e} (\{U\}\{U\}^T + \{V\}\{V\}^T) dx dy \left(-\beta_i^2 \{e_{t,i}^e\} e^{-j\beta_i z} - 2j\beta_i \frac{\partial \{e_{t,i}^e\}}{\partial z} e^{-j\beta_i z} + \frac{\partial^2 \{e_{t,i}^e\}}{\partial z^2} e^{-j\beta_i z} \right) \\ & - k_{0,i}^2 \iint_{\Omega^e} (\varepsilon_{x,i} \{U\}\{U\}^T + \varepsilon_{y,i} \{V\}\{V\}^T) dx dy \{e_{t,i}^e\} e^{-j\beta_i z} = 0 \end{aligned} \quad (จ.31)$$

$$\begin{aligned} & \iint_{\Omega^e} (\{N_x\}\{N_x\}^T + \{N_y\}\{N_y\}^T) dx dy \left(-\beta_i^2 \{e_{z,i}^e\} e^{-j\beta_i z} - 2j\beta_i \frac{\partial \{e_{z,i}^e\}}{\partial z} e^{-j\beta_i z} + \frac{\partial^2 \{e_{z,i}^e\}}{\partial z^2} e^{-j\beta_i z} \right) \\ & + \iint_{\Omega^e} (\{N_x\}\{U\}^T + \{N_y\}\{V\}^T) dx dy \left(-\beta_i^2 \{e_{t,i}^e\} e^{-j\beta_i z} - 2j\beta_i \frac{\partial \{e_{t,i}^e\}}{\partial z} e^{-j\beta_i z} + \frac{\partial^2 \{e_{t,i}^e\}}{\partial z^2} e^{-j\beta_i z} \right) \\ & - k_{0,i}^2 \iint_{\Omega^e} \varepsilon_{z,i} \{N\}\{N\}^T dx dy \left(-\beta_i^2 \{e_{z,i}^e\} e^{-j\beta_i z} - 2j\beta_i \frac{\partial \{e_{z,i}^e\}}{\partial z} e^{-j\beta_i z} + \frac{\partial^2 \{e_{z,i}^e\}}{\partial z^2} e^{-j\beta_i z} \right) = 0 \end{aligned} \quad (จ.32)$$

ศูนย์วิทยทรัพยากร
จุฬาลงกรณ์มหาวิทยาลัย

จัดพจน์ต่างๆ ของสมการ (จ.31) และ (จ.32) จากนั้นหารทั้งสองข้างของสมการที่ได้ด้วย $e^{-j\beta_i z}$ จะได้

$$\begin{aligned}
 & \iint_{\Omega^e} (\{U\}\{U\}^T + \{V\}\{V\}^T) dx dy \frac{d^2 \{e_{t,i}^e\}}{dz^2} + \iint_{\Omega^e} (\{U\}\{N_x\}^T + \{V\}\{N_y\}^T) dx dy \frac{d^2 \{e_{z,i}^e\}}{dz^2} \\
 & - 2j\beta_i \iint_{\Omega^e} (\{U\}\{U\}^T + \{V\}\{V\}^T) dx dy \frac{d \{e_{t,i}^e\}}{dz} - 2j\beta_i \iint_{\Omega^e} (\{U\}\{N_x\}^T + \{V\}\{N_y\}^T) dx dy \frac{d \{e_{z,i}^e\}}{dz} \\
 & + \iint_{\Omega^e} [k_{0,i}^2 (\varepsilon_{x,i} \{U\}\{U\}^T + \varepsilon_{y,i} \{V\}\{V\}^T) - \{U_y\}\{U_y\}^T - \{V_x\}\{V_x\}^T + \{U_y\}\{V_x\}^T + \{V_x\}\{U_y\}^T] dx dy \{e_{t,i}^e\} \\
 & - \beta_i^2 \iint_{\Omega^e} (\{U\}\{U\}^T + \{V\}\{V\}^T) dx dy \{e_{t,i}^e\} - \beta_i^2 \iint_{\Omega^e} (\{U\}\{N_x\}^T + \{V\}\{N_y\}^T) dx dy \{e_{z,i}^e\} = 0
 \end{aligned} \tag{จ.33}$$

$$\begin{aligned}
 & \iint_{\Omega^e} (\{N_x\}\{U\}^T + \{N_y\}\{V\}^T) dx dy \frac{d^2 \{e_{t,i}^e\}}{dz^2} - \iint_{\Omega^e} (k_{0,i}^2 \varepsilon_{z,i} \{N\}\{N\}^T - \{N_x\}\{N_x\}^T - \{N_y\}\{N_y\}^T) dx dy \frac{d^2 \{e_{z,i}^e\}}{dz^2} \\
 & - 2j\beta_i \iint_{\Omega^e} (\{N_x\}\{U\}^T + \{N_y\}\{V\}^T) dx dy \frac{d \{e_{t,i}^e\}}{dz} \\
 & - 2j\beta_i \iint_{\Omega^e} (k_{0,i}^2 \varepsilon_{z,i} \{N\}\{N\}^T - \{N_x\}\{N_x\}^T - \{N_y\}\{N_y\}^T) dx dy \frac{d \{e_{z,i}^e\}}{dz} \\
 & - \beta_i^2 \iint_{\Omega^e} (\{N_x\}\{U\}^T + \{N_y\}\{V\}^T) dx dy \{e_{t,i}^e\} \\
 & + \beta_i^2 \iint_{\Omega^e} (k_{0,i}^2 \varepsilon_{z,i} \{N\}\{N\}^T - \{N_x\}\{N_x\}^T - \{N_y\}\{N_y\}^T) dx dy \{e_{z,i}^e\} = 0
 \end{aligned}$$

หรือ

$$\begin{aligned}
 [M_{tt,i}^e] \frac{d^2 \{e_{t,i}^e\}}{dz^2} + [K_{tz,i}^e] \frac{d^2 \{e_{z,i}^e\}}{dz^2} - 2j\beta_i [M_{tt,i}^e] \frac{d \{e_{t,i}^e\}}{dz} - 2j\beta_i [K_{tz,i}^e] \frac{d \{e_{z,i}^e\}}{dz} \\
 + [K_{tt,i}^e] \{e_{t,i}^e\} - \beta_i^2 [M_{tt,i}^e] \{e_{t,i}^e\} - \beta_i^2 [K_{tz,i}^e] \{e_{z,i}^e\} = 0
 \end{aligned} \tag{จ.34}$$

$$\begin{aligned}
 [K_{zt,i}^e] \frac{d^2 \{e_{t,i}^e\}}{dz^2} - [K_{zz,i}^e] \frac{d^2 \{e_{z,i}^e\}}{dz^2} - 2j\beta_i [K_{zt,i}^e] \frac{d \{e_{t,i}^e\}}{dz} + 2j\beta_i [K_{zz,i}^e] \frac{d \{e_{z,i}^e\}}{dz} \\
 - \beta_i^2 [K_{zt,i}^e] \{e_{t,i}^e\} + \beta_i^2 [K_{zz,i}^e] \{e_{z,i}^e\} = 0
 \end{aligned} \tag{จ.35}$$

หรือ

$$\begin{bmatrix} [M_{u,i}^e] \\ [K_{z,i}^e] \end{bmatrix} - \begin{bmatrix} [K_{t,z,i}^e] \\ -[K_{z,z,i}^e] \end{bmatrix} \frac{d^2}{dz^2} \begin{bmatrix} \{e_{t,i}^e\} \\ \{e_{z,i}^e\} \end{bmatrix} - 2j\beta_i \begin{bmatrix} [M_{u,i}^e] \\ [K_{z,t,i}^e] \end{bmatrix} - \begin{bmatrix} [K_{t,z,i}^e] \\ -[K_{z,z,i}^e] \end{bmatrix} \frac{d}{dz} \begin{bmatrix} \{e_{t,i}^e\} \\ \{e_{z,i}^e\} \end{bmatrix} \\ + \left(\begin{bmatrix} [K_{u,i}^e] & [0] \\ [0] & [0] \end{bmatrix} - \beta_i^2 \begin{bmatrix} [M_{u,i}^e] & [K_{t,z,i}^e] \\ [K_{z,t,i}^e] & -[K_{z,z,i}^e] \end{bmatrix} \right) \begin{bmatrix} \{e_{t,i}^e\} \\ \{e_{z,i}^e\} \end{bmatrix} = \{0\}$$

หรือ

$$[M_i^e] \frac{d^2 \{e_i^e\}}{dz^2} - 2j\beta_i [M_i^e] \frac{d \{e_i^e\}}{dz} + ([K_i^e] - \beta_i^2 [M_i^e]) \{e_i^e\} = \{0\} \quad (จ.36)$$

รวมทุกอีลีเมนต์บนภาคตัดขวางของอุปกรณ์ QPM-SHG เข้าด้วยกัน จะได้

$$[M_i] \frac{d^2 \{e_i\}}{dz^2} - 2j\beta_i [M_i] \frac{d \{e_i\}}{dz} + ([K_i] - \beta_i^2 [M_i]) \{e_i\} = \{0\} \quad (จ.37)$$

โดยที่

$$[M_i] = \sum_e [M_i^e]$$

$$[K_i] = \sum_e [K_i^e]$$

สมการ (จ.37) คือ สมการบีมพรอพาเกชัน สำหรับการพิจารณาการเคลื่อนที่ของ แสงมูลฐาน ($i=1$) แสงฮาร์โมนิกอันดับสอง ($i=2$) ภายในอุปกรณ์ QPM-SHG

สมการบีมพรอพาเกชัน (จ.37) ที่ได้ ยังไม่สามารถนำไปใช้คำนวณได้ เนื่องจากยังมีพจน์ที่เกี่ยวข้องกับอนุพันธ์ในแนวเคลื่อนที่ของแสง พจน์อนุพันธ์ดังกล่าวนี้จะถูกประมาณด้วย วิธีผลต่างสี่เหลี่ยม ก่อนจะดำเนินการประมาณดังกล่าว จะมีการจัดรูปสมการเชิงอนุพันธ์ (จ.37) เพื่อลดอันดับสมการลงจากอันดับสองเป็นอันดับหนึ่ง โดยอาศัยการประมาณพาเด่ (Pade approximation) สมการ

(จ.37) สามารถเขียนได้ในรูป

$$-2j\beta_i [M_i] \frac{d \{e_i\}}{dz} = - \frac{([K_i] - \beta_i^2 [M_i]) \{e_i\}}{1 - \frac{1}{2j\beta_i} \frac{d}{dz}} \quad (จ.38)$$

อาศัยความสัมพันธ์เวียนบังเกิด (recurrence relation) และแทนอนุพันธ์เทียบกับตัวแปร z ในตัวหารของสมการ (จ.38) ด้วย

$$\frac{d}{dz} \approx \frac{1}{2j\beta_i} [M_i]^{-1} ([K_i] - \beta_i^2 [M_i]) \quad (จ.39)$$

จะได้

$$-2j\beta_i [\tilde{M}_i] \frac{d\{e_i\}}{dz} + ([K_i] - \beta_i^2 [M_i]) \{e_i\} = \{0\} \quad (จ.40)$$

กำหนดให้สนามไฟฟ้าที่คำนวณได้ใน ขั้นตอนที่ 1 นี้เป็น $\{e_i^L\}$ และประมาณพจน์อนุพันธ์อันดับหนึ่งของสมการ (จ.40) ด้วย อัลกอริทึมแคลงนิโคลสัน (Crank-Nicholson algorithm) จะได้

$$[A_i]_m \{e_i^L\}_{m+1} = [B_i]_m \{e_i^L\}_m \quad (จ.41)$$

โดยที่

$$[A_i]_m = -2j\beta_i [\tilde{M}_i]_m + 0.5\Delta z ([K_i]_m - \beta_i^2 [M_i]_m) \quad (จ.42)$$

$$[B_i]_m = -2j\beta_i [\tilde{M}_i]_m - 0.5\Delta z ([K_i]_m - \beta_i^2 [M_i]_m) \quad (จ.43)$$

ขั้นตอนที่ 2 ผลของความไม่เป็นเชิงเส้น (nonlinear effect)

สนามไฟฟ้าที่คำนวณได้จาก ขั้นตอนที่ 1 จะถูกนำมาใช้ในการคำนวณหาผลของแหล่งกำเนิดเริ่มต้นจากการพิจารณาโพลาริเซชัน $P_1(x, y, z)$ และ $P_2(x, y, z)$ ของพจน์เชื่อมโยงไม่เชิงเส้น ในสมการ (จ.1) ก่อน รูปชัดแจ้งของโพลาริเซชันทั้งสองเป็นดังนี้

$$P_1(x, y, z) = \begin{bmatrix} P_{x,1} \\ P_{y,1} \\ P_{z,1} \end{bmatrix} = 2 \begin{bmatrix} d_{11} & d_{12} & d_{13} & d_{14} & d_{15} & d_{16} \\ d_{211} & d_{22} & d_{23} & d_{24} & d_{25} & d_{26} \\ d_{31} & d_{32} & d_{33} & d_{34} & d_{35} & d_{36} \end{bmatrix} \begin{bmatrix} E_{x,1}^* E_{x,2} \\ E_{y,1}^* E_{y,2} \\ E_{z,1}^* E_{z,2} \\ E_{y,1}^* E_{z,1} + E_{z,1}^* E_{y,2} \\ E_{z,1}^* E_{x,2} + E_{x,1}^* E_{z,2} \\ E_{x,1}^* E_{y,2} + E_{y,1}^* E_{x,2} \end{bmatrix} \quad (จ.44)$$

$$\mathbf{P}_2(x, y, z) = \begin{bmatrix} P_{x,2} \\ P_{y,2} \\ P_{z,2} \end{bmatrix} = \begin{bmatrix} d_{11} & d_{12} & d_{13} & d_{14} & d_{15} & d_{16} \\ d_{211} & d_{22} & d_{23} & d_{24} & d_{25} & d_{26} \\ d_{31} & d_{32} & d_{33} & d_{34} & d_{35} & d_{36} \end{bmatrix} \begin{bmatrix} (E_{x,1})^2 \\ (E_{y,1})^2 \\ (E_{z,1})^2 \\ 2E_{y,1}E_{z,1} \\ 2E_{z,1}E_{x,1} \\ 2E_{x,1}E_{y,1} \end{bmatrix} \quad (9.45)$$

สนามไฟฟ้าของ แสงมูลฐานความถี่ ω_1 และ แสงมูลฐานฮาร์มอนิกอันดับสองความถี่ ω_2 ที่คำนวณได้จากขั้นตอนที่ 1 จะอยู่ในรูป

$$\begin{bmatrix} \{e_{t,1}\} \\ \{e'_{z,1}\} \end{bmatrix} = \begin{bmatrix} \mathbf{a}_x \{U\}^T \{e_{t,1}\} + \mathbf{a}_y \{V\}^T \{e_{t,1}\} \\ j\{N\}^T \{e'_{z,1}\} \end{bmatrix} = \begin{bmatrix} e_{x,1} \\ e_{y,1} \\ e_{z,1} \end{bmatrix} e^{-j\beta_1 z} \quad (9.46)$$

$$\begin{bmatrix} \{e_{t,2}\} \\ \{e'_{z,2}\} \end{bmatrix} = \begin{bmatrix} \mathbf{a}_x \{U\}^T \{e_{t,2}\} + \mathbf{a}_y \{V\}^T \{e_{t,2}\} \\ j\{N\}^T \{e'_{z,2}\} \end{bmatrix} = \begin{bmatrix} e_{x,2} \\ e_{y,2} \\ e_{z,2} \end{bmatrix} e^{-j\beta_2 z} \quad (9.47)$$

แทนสมการ (9.46) และ (9.47) ลงใน (9.44) และ (9.45) จะได้

$$\mathbf{P}_1(x, y, z) = \begin{bmatrix} P_{x,1} \\ P_{y,1} \\ P_{z,1} \end{bmatrix} = 2[d] \begin{bmatrix} e_{x,1}^* e_{x,2} \\ e_{y,1}^* e_{y,2} \\ e_{z,1}^* e_{z,2} \\ e_{y,1}^* e_{z,1} + e_{z,1}^* e_{y,2} \\ e_{z,1}^* e_{x,2} + e_{x,1}^* e_{z,2} \\ e_{x,1}^* e_{y,2} + e_{y,1}^* e_{x,2} \end{bmatrix} e^{-j(\beta_2 - \beta_1)z} = \begin{bmatrix} p_{x,1} \\ p_{y,1} \\ p_{z,1} \end{bmatrix} e^{-j(\beta_2 - \beta_1)z} \quad (9.48)$$

$$\mathbf{P}_2(x, y, z) = \begin{bmatrix} P_{x,2} \\ P_{y,2} \\ P_{z,2} \end{bmatrix} = [d] \begin{bmatrix} (e_{x,1})^2 \\ (e_{y,1})^2 \\ (e_{z,1})^2 \\ 2e_{y,1}e_{z,1} \\ 2e_{z,1}e_{x,1} \\ 2e_{x,1}e_{y,1} \end{bmatrix} e^{-j2\beta_1 z} = \begin{bmatrix} p_{x,2} \\ p_{y,2} \\ p_{z,2} \end{bmatrix} e^{-j2\beta_1 z} \quad (9.49)$$

ผลของพจน์เชื่อมโยงไม่เชิงเส้นจะคำนวณหาได้จาก องค์ประกอบโพลาริเซชัน $p_{x,i}$ $p_{y,i}$ และ $p_{z,i}$ ดังนี้

$$\{e_i^{NL}\} = \int_{m\Delta z}^{(m+1)\Delta z} j \frac{1}{2\beta_i} \{p_i\}_m \exp(j(-1)^i \Delta\beta z) dz \quad (จ.50)$$

เนื่องจาก การถ่ายเทกำลังงานระหว่าง แสงมูลฐาน กับ แสงฮาร์มอนิกอันดับสอง ที่เกิดขึ้นภายใน ระยะ Δz นี้มีค่าคงที่ จึงประมาณให้ขนาดของสนามบนระนาบที่ m มีค่าคงที่ได้ ดังนั้น โพลาริเซชัน $\{p_i\}_m$ จึงไม่ขึ้นกับระยะทางตามแนวแกน z ผลการอินทิเกรตของสมการ (จ.50) จะเป็นดังนี้

$$\{e_i^{NL}\} = \frac{1}{2\beta_i \Delta\beta} \{p_i\}_m \left\{ \exp(j(-1)^i \Delta\beta(m+1)\Delta z) - \exp(j(-1)^i \Delta\beta m\Delta z) \right\} \quad (จ.59)$$

ขั้นตอนที่ 3 คำนวณหาสนามผลรวม (total effect field)

ขั้นตอนนี้จะเป็นการคำนวณหาสนามไฟฟ้าผลรวมที่เกิดจาก สนามไฟฟ้าเคลื่อนที่เชิงเส้น กับ สนามไฟฟ้าที่เกิดจากผลของความไม่เป็นเชิงเส้น สนามไฟฟ้าผลรวมจะเป็นดังนี้

$$\{e_i^{Total}\}_{m+1} = \{e_i^L\}_{m+1} + \{e_i^{NL}\}_{m+1} \quad (จ.60)$$

ศูนย์วิทยทรัพยากร
จุฬาลงกรณ์มหาวิทยาลัย

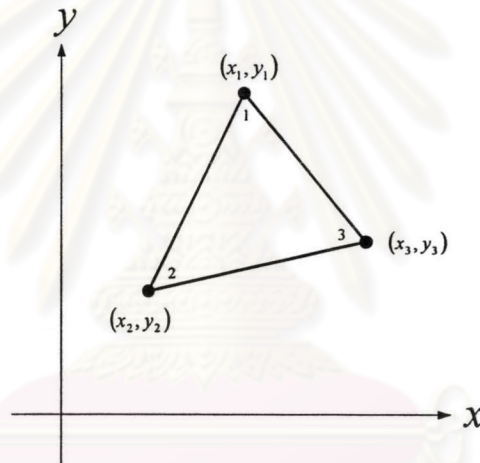
ภาคผนวก จ

ฟังก์ชันรูปร่างของอีลีเมนต์ไอโซพาราเมตริกสามเหลี่ยม

การสร้างรูปร่างของอีลีเมนต์ไอโซพาราเมตริก

สำหรับอีลีเมนต์ไอโซพาราเมตริก จะกำหนดให้อันดับของพหุนามที่ใช้ในการกำหนดรูปร่างของ อีลีเมนต์ มีอันดับเดียวกันกับฟังก์ชันที่ใช้ในการประมาณค่าตัวแปรไม่ทราบค่าภายใน (interpolation function) (โดยทั่วไปนิยมเรียกฟังก์ชันนี้ว่า ฟังก์ชันรูปร่าง (shape function))

1. อีลีเมนต์ไอโซพาราเมตริกอันดับหนึ่ง (linear isoparametric element)



รูปที่ จ 1 อีลีเมนต์รูปสามเหลี่ยมอันดับหนึ่ง

อันดับของพหุนามที่ใช้ในการกำหนดรูปร่างของอีลีเมนต์นี้เท่ากับหนึ่ง ดังนั้นรูปร่างของอีลีเมนต์จึงมีลักษณะเป็นรูปสามเหลี่ยมขอบตรงดังรูปที่ จ 1 พิกัด (x, y) ที่อยู่บนอีลีเมนต์นี้เป็นดังนี้

$$X = \sum_{i=1}^3 N_i x_i \quad (\text{จ.1})$$

$$Y = \sum_{i=1}^3 N_i y_i \quad (\text{จ.2})$$

โดยที่ x_i และ y_i คือ พิกัดของจุดที่อยู่บนรูปร่างของอิไลเมนต์ และ N_i คือ พหุนามที่ใช้ในการกำหนดรูปร่างของอิไลเมนต์ โดยมีนิพจน์ดังนี้

$$\{N\} = \begin{Bmatrix} N_1 \\ N_2 \\ N_3 \end{Bmatrix} = \begin{Bmatrix} L_1 \\ L_2 \\ L_3 \end{Bmatrix} \quad (จ.3)$$

พิกัดพื้นที่ L_1 L_2 และ L_3 มีความสัมพันธ์กับตัวแปรพิกัด x และ y ดังนี้

$$\begin{Bmatrix} L_1 \\ L_2 \\ L_3 \end{Bmatrix} = \frac{1}{2A_e} \begin{bmatrix} a_1 & b_1 & c_1 \\ a_2 & b_2 & c_2 \\ a_3 & b_3 & c_3 \end{bmatrix} \begin{bmatrix} 1 \\ x \\ y \end{bmatrix} \quad (จ.4)$$

เมื่อ A_e คือ พื้นที่ของอิไลเมนต์รูปสามเหลี่ยม และสัมประสิทธิ์ a_k b_k และ c_k โดยที่

$$A_e = \frac{1}{2} \begin{vmatrix} 1 & 1 & 1 \\ x_1 & x_2 & x_3 \\ y_1 & y_2 & y_3 \end{vmatrix} \quad (จ.5)$$

$$a_k = x_l y_m - x_m y_l \quad (จ.6)$$

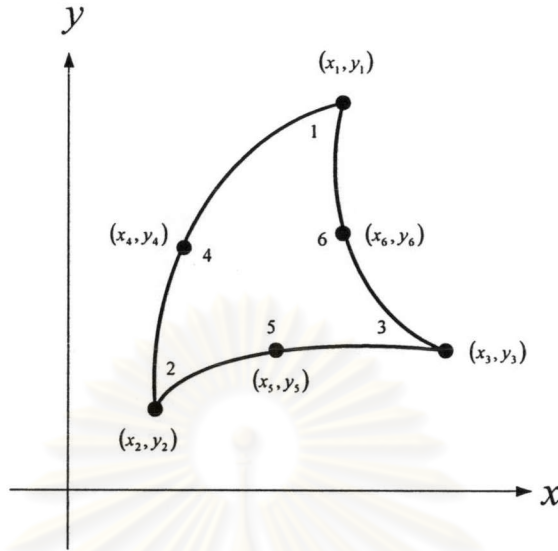
$$b_k = y_l - y_m \quad (จ.7)$$

$$c_k = x_m - x_l \quad (จ.8)$$

(k, l, m) เป็นมอดุโล (modulo) ของ $(1, 2, 3)$

ศูนย์วิทยทรัพยากร
จุฬาลงกรณ์มหาวิทยาลัย

2. อิลีเมนต์ไอโซพารามेटริกอันดับสอง (quadratic isoparametric element)



รูปที่ ๑ 2 อิลีเมนต์รูปสามเหลี่ยมอันดับสอง

อันดับของพหุนามที่ใช้ในการกำหนดรูปร่างของอิลีเมนต์นี้เท่ากับสอง ดังนั้นรูปร่างของอิลีเมนต์จึงมีลักษณะเป็นรูปสามเหลี่ยมขอบโค้งดังรูปที่ ๑ 2 พิกัด (x, y) ที่อยู่บนอิลีเมนต์นี้เป็นดังนี้

$$X = \sum_{i=1}^6 N_i x_i \tag{๑.9}$$

$$Y = \sum_{i=1}^6 N_i y_i \tag{๑.10}$$

โดยที่ x_i และ y_i คือ พิกัดของจุดที่อยู่บนรูปร่างของอิลีเมนต์ และ N_i คือ พหุนามที่ใช้ในการกำหนดรูปร่างของอิลีเมนต์ โดยมีพจน์ ดังนี้

$$\{N\} = \begin{Bmatrix} N_1 \\ N_2 \\ N_3 \\ N_4 \\ N_5 \\ N_6 \end{Bmatrix} = \begin{Bmatrix} L_1(2L_1 - 1) \\ L_2(2L_2 - 1) \\ L_3(2L_3 - 1) \\ 4L_1L_2 \\ 4L_2L_3 \\ 4L_3L_1 \end{Bmatrix} \tag{๑.11}$$

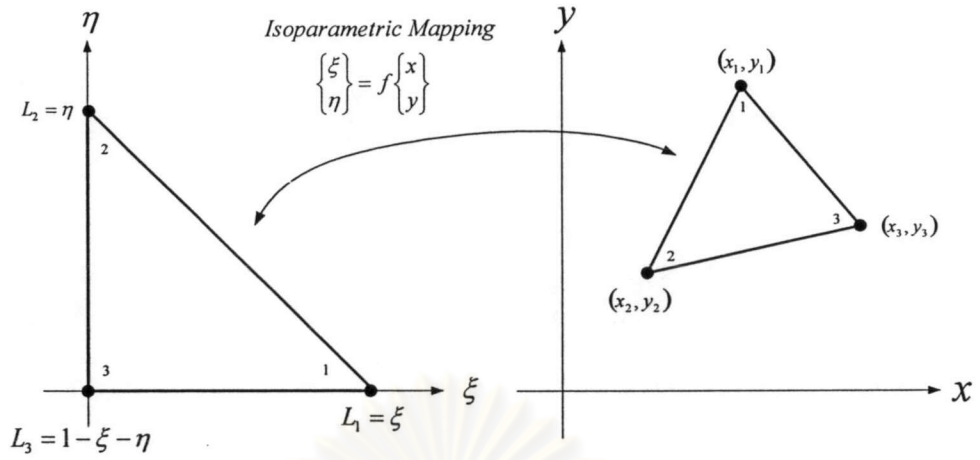
พิกัดพื้นที่ L_1 L_2 และ L_3 มีนิพจน์เดียวกันกับสมการ (๑.4)

การแปลงระบบพิกัดในการพิจารณาปัญหา

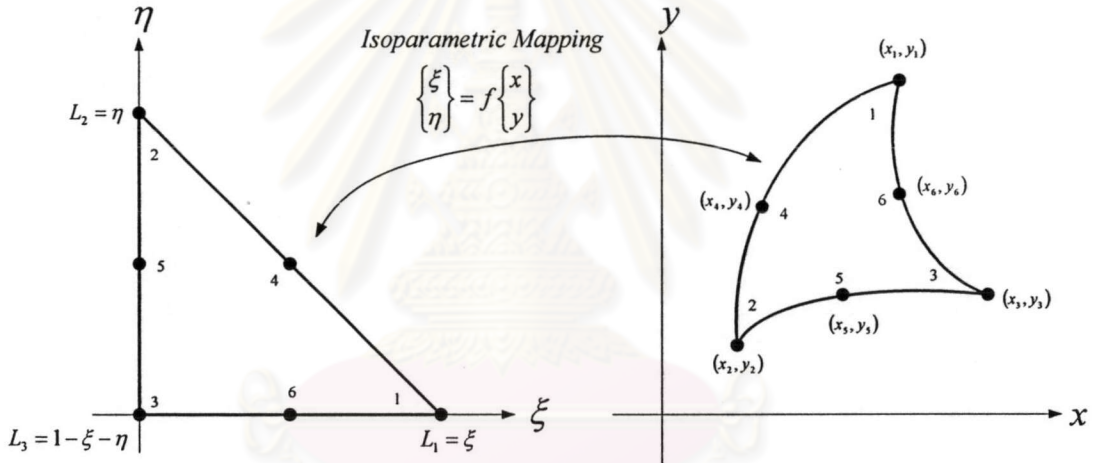
โดยทั่วไปการพิจารณาอีลีเมนต์ไอโซพารามेटริกรูปร่างแบบใดๆ (irregular shape) ในระบบพิกัดกายภาพ xy (physical coordinate) นั้นค่อนข้างจะมีความยุ่งยาก วิธีหลีกเลี่ยงความยุ่งยากนี้สามารถทำได้โดยการแปลงระบบพิกัดในการพิจารณาจากระบบพิกัด xy ไปเป็นระบบพิกัดท้องถิ่น $\xi\eta$ (local coordinate) สำหรับอีลีเมนต์แบบไอโซพารามेटริกนั้น จะอาศัยวิธีการแปลงระบบพิกัดที่เรียกว่า การส่งแบบไอโซพารามेटริก f (isoaparametric mapping) ทั้งนี้ข้อกำหนดของการส่งแบบพารามेटริก นั้นจะกำหนดให้รูปแบบของฟังก์ชันการส่ง f (mapping function) เป็นรูปแบบเดียวกันกับฟังก์ชันรูปร่างของอีลีเมนต์สามเหลี่ยม



ศูนย์วิทยทรัพยากร
จุฬาลงกรณ์มหาวิทยาลัย



(ก) อิลีเมนต์ไอโซพารามेटริกอันดับหนึ่ง



(ข) อิลีเมนต์ไอโซพารามेटริกอันดับสอง

รูปที่ ๓ การแปลงระบบพิกัดสำหรับอิลีเมนต์ไอโซพารามेटริก

การส่งแบบไอโซพารามेटริกสำหรับอิลีเมนต์ไอโซพารามेटริกมีลักษณะดังรูปที่ ๓
 3 นิยามให้ ระบบพิกัดท้องถิ่น $\xi\eta$ เป็นดังนี้

$$L_1 = \xi \tag{๓.12}$$

$$L_2 = \eta \quad (\text{จ.13})$$

$$L_3 = 1 - L_1 - L_2 = 1 - \xi - \eta \quad (\text{จ.14})$$

นียมการแปลงตัวดำเนินการอนุพันธ์ระหว่างพิกัด xy และพิกัด $\xi\eta$ เป็นดังนี้

$$\begin{bmatrix} \partial/\partial\xi \\ \partial/\partial\eta \end{bmatrix} = \begin{bmatrix} J_{11} & J_{12} \\ J_{21} & J_{22} \end{bmatrix} \begin{bmatrix} \partial/\partial x \\ \partial/\partial y \end{bmatrix} \quad (\text{จ.15})$$

หรือ

$$\begin{bmatrix} \partial/\partial x \\ \partial/\partial y \end{bmatrix} = [J]^{-1} \begin{bmatrix} \partial/\partial L_1 \\ \partial/\partial L_2 \end{bmatrix} = \frac{1}{|J|} \begin{bmatrix} J_{22} & -J_{12} \\ -J_{21} & J_{11} \end{bmatrix} \begin{bmatrix} \partial/\partial L_1 \\ \partial/\partial L_2 \end{bmatrix} \quad (\text{จ.16})$$

โดยที่ $[J]$ คือ เมทริกซ์จาโคเบียน (Jacobian matrix) และ $|J| = J_{11}J_{22} - J_{12}J_{21}$

จะได้ความสัมพันธ์ของตัวดำเนินการอนุพันธ์ระหว่างสองระบบพิกัด ดังนี้

$$\frac{\partial}{\partial x} = \frac{1}{|J|} \left(J_{22} \frac{\partial}{\partial L_1} - J_{12} \frac{\partial}{\partial L_2} \right) \quad (\text{จ.17})$$

$$\frac{\partial}{\partial y} = \frac{1}{|J|} \left(-J_{21} \frac{\partial}{\partial L_1} + J_{11} \frac{\partial}{\partial L_2} \right) \quad (\text{จ.18})$$

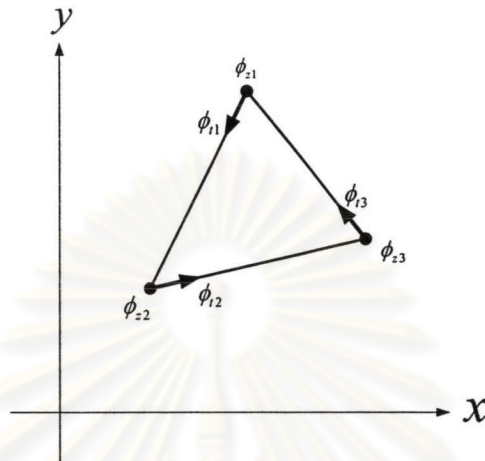
นียมการแปลงตัวดำเนินการอินทิเกรตระหว่างพิกัด xy และพิกัด $\xi\eta$ เป็นดังนี้

$$\iint_{\Omega'} g(x, y) dx dy = \int_0^1 \left[\int_0^{1-L_1} g(L_1, L_2, L_3) |J|(L_1, L_2, L_3) dL_2 \right] dL_1 \quad (\text{จ.19})$$

ศูนย์วิทยุโทรพักร
จุฬาลงกรณ์มหาวิทยาลัย

การสร้างฟังก์ชันรูปร่างแบบเวกเตอร์ฟังก์ชันรูปร่างแบบเวกเตอร์ของอิลีเมนต์ไอโซพาราเมตริก
สามเหลี่ยม

1. อิลีเมนต์ไอโซพาราเมตริกสามเหลี่ยมแบบ CT/LN



รูปที่ ๔ ลักษณะของอิลีเมนต์ไอโซพาราเมตริก CT/LN ในระบบพิกัดกายภาพ xy

ฟังก์ชันรูปร่างแบบเวกเตอร์ของอิลีเมนต์ไอโซพาราเมตริก CT/LN ในรูปที่ ๔ จะสร้างจากฟังก์ชันรูปร่างแบบสเกลาร์ของอิลีเมนต์อันดับหนึ่ง ดังนี้

$$N_1 = L_1 \quad (๔.20)$$

$$N_2 = L_2 \quad (๔.21)$$

$$N_3 = L_3 \quad (๔.22)$$

งานวิทยานิพนธ์นี้จะอาศัยรูปแบบฟังก์ชันรูปร่างสำหรับอิลีเมนต์ไอโซพาราเมตริก
รูปสามเหลี่ยม CT/LN ที่สร้างโดย Peterson (1994) Itoh, Pelosi and Silvester (1996: 110)
และ Koshiba and Tsuji (2000) นิยามได้ดังนี้

$$\mathbf{a}_x U_1 + \mathbf{a}_y V_1 = |J|_1 |\nabla_t L_3|_1 (L_1 \nabla_t L_2 - L_2 \nabla_t L_1) \quad (๔.23)$$

$$\mathbf{a}_x U_2 + \mathbf{a}_y V_2 = |J|_2 |\nabla_t L_1|_2 (L_2 \nabla_t L_3 - L_3 \nabla_t L_2) \quad (๔.24)$$

$$a_x U_3 + a_y V_3 = |J|_3 |\nabla_i L_2|_3 (L_3 \nabla_i L_1 - L_1 \nabla_i L_3) \quad (\text{จ.25})$$

พิจารณารูปแบบขีดจำกัดของพจน์ต่างๆ ในสมการ (จ.23) ถึง (จ.25) เป็นดังนี้

รูปแบบขีดจำกัดของสมาชิกของเมทริกซ์จาโคเบียน (Jacobian matrix) J จะเป็นดังนี้

$$J_{11} = \frac{\partial X}{\partial L_1} = \sum_{i=1}^3 \frac{\partial N_i}{\partial L_1} x_i = x_1 - x_3 \quad (\text{จ.26})$$

$$J_{12} = \frac{\partial Y}{\partial L_1} = \sum_{i=1}^3 \frac{\partial N_i}{\partial L_1} y_i = y_1 - y_3 \quad (\text{จ.27})$$

$$J_{21} = \frac{\partial X}{\partial L_2} = \sum_{i=1}^3 \frac{\partial N_i}{\partial L_2} x_i = x_2 - x_3 \quad (\text{จ.28})$$

$$J_{22} = \frac{\partial Y}{\partial L_2} = \sum_{i=1}^3 \frac{\partial N_i}{\partial L_2} y_i = y_2 - y_3 \quad (\text{จ.29})$$

ดังนั้น ค่าดีเทอร์มิแนนต์ของเมทริกซ์ J จะเป็นดังนี้

$$|J| = J_{11}J_{22} - J_{12}J_{21} = (x_1 - x_3)(y_2 - y_3) - (y_1 - y_3)(x_2 - x_3) = 2A_e \quad (\text{จ.30})$$

โดยที่ A_e คือ พื้นที่ของอิลิปเมนต์รูปสามเหลี่ยมในระบบพิกัด xy

ค่าดีเทอร์มิแนนต์ของเมทริกซ์ J ที่โนดหมายเลข 1 2 และ 3 จะเป็นดังนี้

$$|J|_1 = |J|_2 = |J|_3 = |J| = (x_1 - x_3)(y_2 - y_3) - (y_1 - y_3)(x_2 - x_3) = 2A_e \quad (\text{จ.31})$$

ค่าเกรเดียนต์ในแนวขวางของพิกัดพื้นที่ L_1 L_2 และ L_3 จะเป็นดังนี้

$$\nabla_i L_1 = \frac{1}{|J|} (a_x J_{22} - a_y J_{21}) = \frac{1}{2A_e} (a_x (y_2 - y_3) - a_y (x_2 - x_3)) \quad (\text{จ.32})$$

$$\nabla_i L_2 = \frac{1}{|J|} (-a_x J_{12} + a_y J_{11}) = \frac{1}{2A_e} (-a_x (y_1 - y_3) + a_y (x_1 - x_3)) \quad (\text{จ.33})$$

$$\begin{aligned} \nabla_i L_3 &= \frac{1}{|J|} (a_x (J_{12} - J_{22}) + a_y (J_{21} - J_{11})) \\ &= \frac{1}{2A_e} (a_x [(y_1 - y_3) - (y_2 - y_3)] + a_y [(x_2 - x_3) - (x_1 - x_3)]) \end{aligned} \quad (\text{จ.34})$$

ขนาดของเกรเดียนต์ในแนวขวางของฟังก์ชันที่ L_1 , L_2 และ L_3 ที่ในดหมายเลข 2 1 และ 3 จะเป็นดังนี้

$$|\nabla_t L_3|_1 = |\nabla_t L_3| \quad (\text{จ.35})$$

$$|\nabla_t L_1|_2 = |\nabla_t L_1| \quad (\text{จ.36})$$

$$|\nabla_t L_2|_3 = |\nabla_t L_2| \quad (\text{จ.37})$$

สรุป รูปชัดแจ้งของฟังก์ชันรูปร่างแบบเวกเตอร์สำหรับอสมการไอโซพาราเมตริกสามเหลี่ยม CTLN

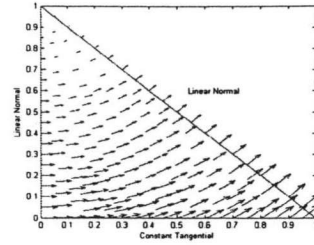
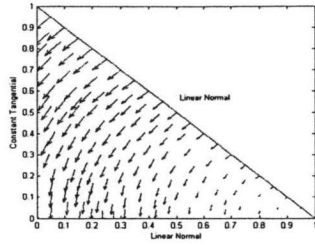
$$\mathbf{a}_x U_1 + \mathbf{a}_y V_1 = |\nabla_t L_3| \{ \mathbf{a}_x [-L_1(y_1 - y_3) + L_2(y_2 - y_3)] + \mathbf{a}_y [L_1(x_1 - x_3) + L_2(x_2 - x_3)] \} \quad (\text{จ.38})$$

$$\mathbf{a}_x U_2 + \mathbf{a}_y V_2 = |\nabla_t L_1| \{ \mathbf{a}_x [L_2(y_1 - y_2) - L_3(y_2 - y_3)] + \mathbf{a}_y [L_2(x_2 - x_1) + L_3(x_2 - x_3)] \} \quad (\text{จ.39})$$

$$\mathbf{a}_x U_3 + \mathbf{a}_y V_3 = |\nabla_t L_2| \{ \mathbf{a}_x [L_3(y_2 - y_3) - L_1(y_1 - y_2)] + \mathbf{a}_y [L_3(x_2 - x_3) + L_1(x_2 - x_1)] \} \quad (\text{จ.40})$$

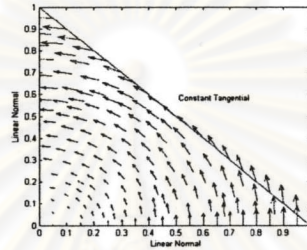
ลักษณะการเปลี่ยนแปลงของฟังก์ชันรูปร่างในสมการ (จ.38) ถึง (จ.40) แสดงดังรูปที่ จ 5

ศูนย์วิทยทรัพยากร
จุฬาลงกรณ์มหาวิทยาลัย



(ก) องค์ประกอบ $a_x U_1 + a_y V_1$

(ข) องค์ประกอบ $a_x U_2 + a_y V_2$

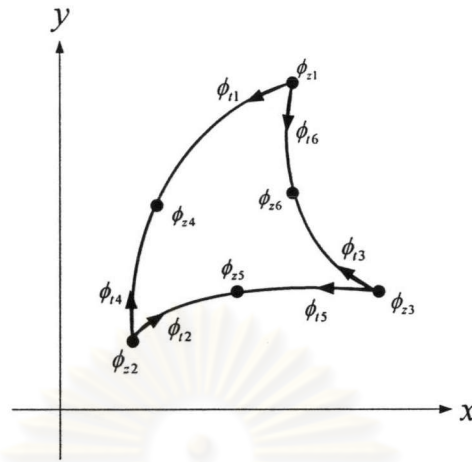


(ค) องค์ประกอบ $a_x U_3 + a_y V_3$

รูปที่ ๕ ฟังก์ชันรูปร่างแบบเวกเตอร์สำหรับอีลีเมนต์ไอโซพาราเมตริก CT/LN ที่มีจุดยอดหมายเลข 1 2 และ 3 อยู่ที่พิกัด (0,1) (0,0) และ (1,0) ตามลำดับ

ศูนย์วิทยทรัพยากร
จุฬาลงกรณ์มหาวิทยาลัย

2. อีลีเมนต์ไอโซพาราเมตริกสามเหลี่ยมแบบ LT/LN



รูปที่ ๖ ลักษณะของอีลีเมนต์ไอโซพาราเมตริกแบบ LT/LN ในระบบพิกัดกายภาพ xy

ฟังก์ชันรูปร่างแบบเวกเตอร์ของอีลีเมนต์ไอโซพาราเมตริก LT/LN ในรูปที่ ๖ จะสร้างจากฟังก์ชันรูปร่างแบบสเกลาร์ของอีลีเมนต์อันดับหนึ่ง ดังนี้

$$N_1 = L_1(2L_1 - 1) \quad (๖.41)$$

$$N_2 = L_2(2L_2 - 1) \quad (๖.42)$$

$$N_3 = L_3(2L_3 - 1) \quad (๖.43)$$

$$N_4 = 4L_1L_2 \quad (๖.44)$$

$$N_5 = 4L_2L_3 \quad (๖.45)$$

$$N_6 = 4L_3L_1 \quad (๖.46)$$

งานวิทยานิพนธ์นี้จะอาศัยรูปแบบฟังก์ชันรูปร่างสำหรับอีลีเมนต์ไอโซพาราเมตริกสามเหลี่ยม LT/LN ที่สร้างโดย Peterson (1994) Itoh , Pelosi and Silvester (1996: 110) และ Koshiha and Tsuji (2000) นิยามได้ดังนี้

$$\mathbf{a}_x U_1 + \mathbf{a}_y V_1 = |J|_1 \cdot |\nabla_t L_3|_1 \cdot (L_1 \nabla_t L_2) \quad (๖.47)$$

$$\mathbf{a}_x U_2 + \mathbf{a}_y V_2 = |J|_2 \cdot |\nabla_t L_1|_2 \cdot (L_2 \nabla_t L_3) \quad (๖.48)$$

$$a_x U_3 + a_y V_3 = |J|_3 \cdot |\nabla_t L_2|_3 \cdot (L_3 \nabla_t L_1) \quad (\text{ฉ.49})$$

$$a_x U_4 + a_y V_4 = |J|_2 \cdot |\nabla_t L_3|_2 \cdot (L_2 \nabla_t L_1) \quad (\text{ฉ.50})$$

$$a_x U_5 + a_y V_5 = |J|_3 \cdot |\nabla_t L_1|_3 \cdot (L_3 \nabla_t L_2) \quad (\text{ฉ.51})$$

$$a_x U_6 + a_y V_6 = |J|_1 \cdot |\nabla_t L_2|_1 \cdot (L_1 \nabla_t L_3) \quad (\text{ฉ.52})$$

พิจารณารูปแบบขีดจำกัดของพจน์ต่างๆ ในสมการ (ฉ.47) ถึง (ฉ.52) เป็นดังนี้

รูปแบบขีดจำกัดของสมาชิกของเมทริกซ์จาโคเบียน (Jacobian matrix) J จะเป็นดังนี้

$$J_{11} = \frac{\partial X}{\partial L_1} = \sum_{i=1}^6 \frac{\partial N_i}{\partial L_1} x_i = (4x_1 + 4x_3 - 8x_6)L_1 + (4x_3 + 4x_4 - 4x_5 - 4x_6)L_2 + (-x_1 - 3x_3 + 4x_6)$$

$$J_{12} = \frac{\partial Y}{\partial L_1} = \sum_{i=1}^6 \frac{\partial N_i}{\partial L_1} y_i = (4y_1 + 4y_3 - 8y_6)L_1 + (4y_3 + 4y_4 - 4y_5 - 4y_6)L_2 + (-y_1 - 3y_3 + 4y_6)$$

$$J_{21} = \frac{\partial X}{\partial L_2} = \sum_{i=1}^6 \frac{\partial N_i}{\partial L_2} x_i = (4x_3 + 4x_4 - 4x_5 - 4x_6)L_1 + (4x_2 + 4x_3 - 8x_5)L_2 + (-x_2 - 3x_3 + 4x_5)$$

$$J_{22} = \frac{\partial Y}{\partial L_2} = \sum_{i=1}^6 \frac{\partial N_i}{\partial L_2} y_i = (4y_3 + 4y_4 - 4y_5 - 4y_6)L_1 + (4y_2 + 4y_3 - 8y_5)L_2 + (-y_2 - 3y_3 + 4y_5)$$

กำหนดให้

$$kx_1 = (4x_1 + 4x_3 - 8x_6) \quad , \quad ky_1 = (4y_1 + 4y_3 - 8y_6)$$

$$lx_1 = (4x_3 + 4x_4 - 4x_5 - 4x_6) \quad , \quad ly_1 = (4y_3 + 4y_4 - 4y_5 - 4y_6)$$

$$mx_1 = (-x_1 - 3x_3 + 4x_6) \quad , \quad my_1 = (-y_1 - 3y_3 + 4y_6)$$

และ

$$kx_2 = (4x_3 + 4x_4 - 4x_5 - 4x_6) \quad , \quad ky_2 = (4y_3 + 4y_4 - 4y_5 - 4y_6)$$

$$lx_2 = (4x_2 + 4x_3 - 8x_5) \quad , \quad ly_2 = (4y_2 + 4y_3 - 8y_5)$$

$$mx_2 = (-x_2 - 3x_3 + 4x_5) \quad , \quad my_2 = (-y_2 - 3y_3 + 4y_5)$$

ดังนั้น

$$J_{11} = kx_1 \cdot L_1 + lx_1 \cdot L_2 + mx_1 \quad (\text{จ.53})$$

$$J_{12} = ky_1 \cdot L_1 + ly_1 \cdot L_2 + my_1 \quad (\text{จ.54})$$

$$J_{21} = kx_2 \cdot L_1 + lx_2 \cdot L_2 + mx_2 \quad (\text{จ.55})$$

$$J_{22} = ky_2 \cdot L_1 + ly_2 \cdot L_2 + my_2 \quad (\text{จ.56})$$

ตาราง ข 1 ค่าของพิกัดพื้นที่ ณ โหนดต่างๆ ของในระบบพิกัด $\xi\eta$

หมายเลขโหนด	ค่าของ L_1 L_2 และ L_3
1	(1,0,0)
2	(0,1,0)
3	(0,0,1)
4	(1/2,1/2,0)
5	(0,1/2,1/2)
6	(1/2,0,1/2)

ค่าดีเทอร์มิแนนต์ของเมทริกซ์ J ที่โหนดหมายเลข 1 2 และ 3 จะหาได้จากการแทนค่าของพิกัดพื้นที่ L_1 L_2 และ L_3 ในตาราง ข 1 ลงในสมการ (จ.53) ถึง (จ.56) จะได้

$$|J|_1 = J_{11}J_{22} - J_{12}J_{21} = (kx_1 + mx_1)(ky_2 + my_2) - (ky_1 + my_1)(kx_2 + mx_2) \quad (\text{จ.57})$$

$$|J|_2 = J_{11}J_{22} - J_{12}J_{21} = (lx_1 + mx_1)(ly_2 + my_2) - (ly_1 + my_1)(lx_2 + mx_2) \quad (\text{จ.58})$$

$$|J|_3 = J_{11}J_{22} - J_{12}J_{21} = (mx_1 \cdot my_2) - (my_1 \cdot mx_2) \quad (\text{จ.59})$$

ค่าเกรเดียนต์ในแนวขวางของพิกัดพื้นที่ L_1 L_2 และ L_3 จะเป็นดังนี้

$$\nabla_x L_1 = \mathbf{a}_x \left\{ \frac{1}{|J|} \left(J_{22} \frac{\partial L_1}{\partial L_1} - J_{12} \frac{\partial L_1}{\partial L_2} \right) \right\} + \mathbf{a}_y \left\{ \frac{1}{|J|} \left(-J_{21} \frac{\partial L_1}{\partial L_1} + J_{11} \frac{\partial L_1}{\partial L_2} \right) \right\} = \frac{1}{|J|} (\mathbf{a}_x J_{22} - \mathbf{a}_y J_{21}) \quad (\text{จ.60})$$

$$\nabla_x L_2 = \mathbf{a}_x \left\{ \frac{1}{|J|} \left(J_{22} \frac{\partial L_2}{\partial L_1} - J_{12} \frac{\partial L_2}{\partial L_2} \right) \right\} + \mathbf{a}_y \left\{ \frac{1}{|J|} \left(-J_{21} \frac{\partial L_2}{\partial L_1} + J_{11} \frac{\partial L_2}{\partial L_2} \right) \right\} = \frac{1}{|J|} (-\mathbf{a}_x J_{12} + \mathbf{a}_y J_{11}) \quad (\text{จ.61})$$

$$\begin{aligned}
\nabla_r L_3 &= \mathbf{a}_x \left\{ \frac{1}{|J|} \left(J_{22} \frac{\partial(1-L_1-L_2)}{\partial L_1} - J_{12} \frac{\partial(1-L_1-L_2)}{\partial L_2} \right) \right\} \\
&\quad + \mathbf{a}_y \left\{ \frac{1}{|J|} \left(-J_{21} \frac{\partial(1-L_1-L_2)}{\partial L_1} + J_{11} \frac{\partial(1-L_1-L_2)}{\partial L_2} \right) \right\} \\
&= \frac{1}{|J|} [\mathbf{a}_x (J_{12} - J_{22}) - \mathbf{a}_y (J_{21} - J_{11})]
\end{aligned} \tag{ฉ.62}$$

ขนาดของเกรเดียนต์ในแนวขวางของพิกัดพื้นที่ L_1 , L_2 และ L_3 ที่โหนดหมายเลข 2 1 และ 3 จะเป็นดังนี้

$$|\nabla_r L_3|_1 = \frac{1}{|J|_1} \sqrt{(J_{12}|_{node1} - J_{22}|_{node1})^2 + (J_{21}|_{node1} - J_{11}|_{node1})^2} \tag{ฉ.63}$$

$$|\nabla_r L_1|_2 = \frac{1}{|J|_2} \sqrt{(J_{22}|_{node2})^2 + (J_{21}|_{node2})^2} \tag{ฉ.64}$$

$$|\nabla_r L_2|_3 = \frac{1}{|J|_3} \sqrt{(J_{12}|_{node3})^2 + (J_{11}|_{node3})^2} \tag{ฉ.65}$$

$$|\nabla_r L_3|_2 = \frac{1}{|J|_2} \sqrt{(J_{12}|_{node2} - J_{22}|_{node2})^2 + (J_{21}|_{node2} - J_{11}|_{node2})^2} \tag{ฉ.66}$$

$$|\nabla_r L_1|_3 = \frac{1}{|J|_3} \sqrt{(J_{22}|_{node3})^2 + (J_{21}|_{node3})^2} \tag{ฉ.67}$$

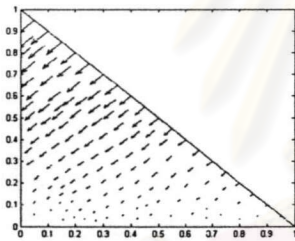
$$|\nabla_r L_2|_1 = \frac{1}{|J|_1} \sqrt{(J_{12}|_{node1})^2 + (J_{11}|_{node1})^2} \tag{ฉ.68}$$

โดยที่ ค่าของสมาชิกของเมทริกซ์ J ที่โหนด 1 2 และ 3 จะได้จากการแทนค่าของ L_1 , L_2 และ L_3 ในตาราง ฉ 1 ลงในสมการ (ฉ.53) ถึง (ฉ.56)

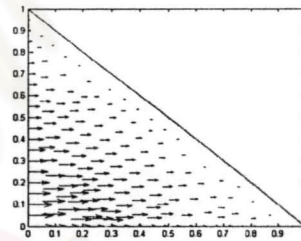
สรุป รูปขีดแข็งของฟังก์ชันรูปร่างแบบเวกเตอร์สำหรับอิลิเมนต์ไอโซพารามेटริก
รูปสามเหลี่ยม LT1LN

$$\mathbf{a}_x \{U\} + \mathbf{a}_y \{V\} = \mathbf{a}_x \left\{ \begin{array}{c} -|J|_1 |\nabla_r L_{31}| \frac{L_1 J_{12}}{|J|} \\ |J|_2 |\nabla_r L_{12}| \frac{L_2 (J_{12} - J_{22})}{|J|} \\ |J|_3 |\nabla_r L_{23}| \frac{L_3 J_{22}}{|J|} \\ |J|_2 |\nabla_r L_{32}| \frac{L_2 J_{22}}{|J|} \\ -|J|_3 |\nabla_r L_{13}| \frac{L_3 J_{12}}{|J|} \\ |J|_1 |\nabla_r L_{21}| \frac{L_1 (J_{12} - J_{22})}{|J|} \end{array} \right\} + \mathbf{a}_y \left\{ \begin{array}{c} |J|_1 |\nabla_r L_{31}| \frac{L_1 J_{11}}{|J|} \\ |J|_2 |\nabla_r L_{12}| \frac{L_2 (J_{21} - J_{11})}{|J|} \\ -|J|_3 |\nabla_r L_{23}| \frac{L_3 J_{21}}{|J|} \\ -|J|_2 |\nabla_r L_{32}| \frac{L_2 J_{21}}{|J|} \\ |J|_3 |\nabla_r L_{13}| \frac{L_3 J_{11}}{|J|} \\ |J|_1 |\nabla_r L_{21}| \frac{L_1 (J_{21} - J_{11})}{|J|} \end{array} \right\} \quad (จ.69)$$

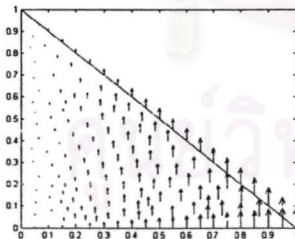
ลักษณะการเปลี่ยนแปลงของฟังก์ชันรูปร่างในสมการ (จ.69) สำหรับอีลีเมนต์ขอบตรงแสดงดังรูปที่ จ 5



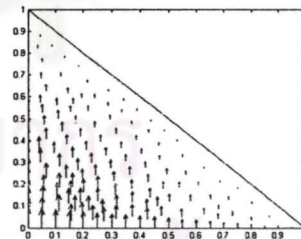
(ก) องค์ประกอบ $a_x U_1 + a_y V_1$



(ข) องค์ประกอบ $a_x U_2 + a_y V_2$

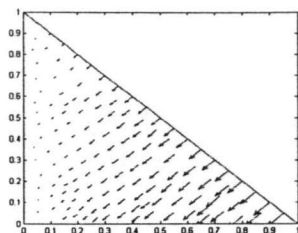
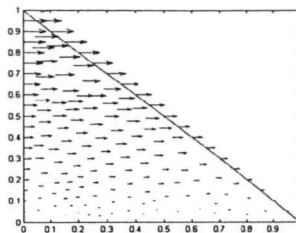


(ค) องค์ประกอบ $a_x U_3 + a_y V_3$



(ง) องค์ประกอบ $a_x U_4 + a_y V_4$

รูปที่ จ 7 ฟังก์ชันรูปร่างแบบเวกเตอร์สำหรับอีลีเมนต์ไอโซพารามेटริก LT/LN ที่มีจุดยอดหมายเลข 1 2 และ 3 อยู่ที่พิกัด (0,1) (0,0) และ (1,0) ตามลำดับ

(จ) องค์ประกอบ $a_x U_5 + a_y V_5$ (ฉ) องค์ประกอบ $a_x U_6 + a_y V_6$

รูปที่ ๗ (ต่อ)

การหาผลเฉลยของสมการอีลีเมนต์โดยอาศัยการอินทิเกรตเชิงตัวเลข

การหาค่าอินทิกรัลของสมการของอีลีเมนต์ สามารถหาได้โดยอาศัยสูตรการอินทิเกรต (Zienkiewicz, 1977; Kwon and Bang, 2000: 159-197) ดังนี้

$$\iint_{\Omega^e} f(x, y) dx dy = \sum_{k=1}^7 \frac{W_k}{2} f(L_{1k}, L_{2k}, L_{3k}) J(L_{1k}, L_{2k}, L_{3k}) \quad (๗.๗๐)$$

โดยที่ W_k คือ สัมประสิทธิ์น้ำหนัก (weighting coefficient) และ L_{1k} L_{2k} และ L_{3k} คือ พิกัดพื้นที่สำหรับแต่ละค่า k โดย W_k L_{1k} L_{2k} และ L_{3k} จะมีค่าดังตาราง 3.1

ตาราง ๓.1 ค่าของสัมประสิทธิ์น้ำหนัก และ ค่าของพิกัดพื้นที่ สำหรับการอินทิเกรตเชิงตัวเลข

k	W_k	L_{1k}	L_{2k}	L_{3k}	a
1	0.225	a_1	a_1	a_1	
2	0.13239415	a_2	a_3	a_3	$a_1 = 0.33333333$
3	0.13239415	a_3	a_2	a_3	$a_2 = 0.05971587$
4	0.13239415	a_3	a_3	a_2	$a_3 = 0.47014206$
5	0.12593918	a_4	a_2	a_5	$a_4 = 0.79742669$
6	0.12593918	a_5	a_4	a_5	$a_5 = 0.10128651$
7	0.12593918	a_5	a_5	a_4	

ภาคผนวก ข

การประเมินสมรรถนะของอิลีเมนต์ไอโซพาราเมตริก

การคำนวณในภาคผนวกนี้มีวัตถุประสงค์เพื่อประเมินความแม่นยำของผลเฉลยที่คำนวณได้จากวิธีไฟไนต์อิลีเมนต์ร่วมกับการใช้งานอิลีเมนต์ไอโซพาราเมตริก ปัญหาในกรณีตัวอย่างที่นำมาคำนวณนี้จะเป็น ปัญหาค่าเจาะจงมาตรฐาน ของท่อนำคลื่นแสงที่มีโครงสร้างแบบเดียวกันกับส่วนท่อนำคลื่นแสงของอุปกรณ์ QPM-SHG

ระบบสมการของ ปัญหาค่าเจาะจงมาตรฐาน เป็นดังนี้

$$([K] - \beta^2 [M])\{e\} = \{0\} \quad (ข.1)$$

โดยที่

$$[M] = \sum_e [M^e]$$
$$[K] = \sum_e [K^e]$$

รูปชุดแฉ่งของเมทริกซ์ย่อยในสมการ (ข.1) สามารถดูได้ในภาคผนวก จ

ขั้นตอนการคำนวณจะเริ่มต้นจากการแบ่งภาคตัดขวางของท่อนำคลื่นแสงออกเป็นอิลีเมนต์ไอโซพาราเมตริก จากนั้นจึงแทนฟังก์ชันรูปร่างของอิลีเมนต์ไอโซพาราเมตริกแบบ CT/LN หรือ ฟังก์ชันรูปร่างของอิลีเมนต์ไอโซพาราเมตริกแบบ LT/LN ในภาคผนวก ฉ ลงในสมการ (ข.1) การแก้ระบบสมการดังกล่าวจะได้ผลเฉลย คือ ค่าเจาะจง (eigenvalue) และ เวกเตอร์เจาะจง (eigenvector) การเปรียบเทียบความแม่นยำของผลเฉลยจะพิจารณาจากค่าทั้งสองนี้

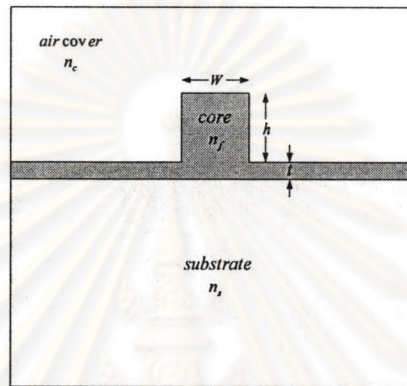
ท่อนำคลื่นแสงแบบบริบ

พิจารณา ท่อนำคลื่นแสงแบบบริบดังรูปที่ ข 1 ความยาวคลื่นแสงทำงาน λ (operating wavelength) ของท่อนำคลื่นแสงมีค่าเท่ากับ 1.15 ไมโครเมตร ค่าดัชนีหักเหแสงของบริเวณแคลด์ดิงอากาศ n_c บริเวณแกนนำแสง n_f และ บริเวณฐานรอง n_r มีค่าเท่ากับ 1.0 3.44 และ 3.40 ตามลำดับ ความกว้าง W ของแกนนำแสงมีค่าเท่ากับ 3 ไมโครเมตร ความหนา t รวมกับความสูง h ของแกนนำแสงมีค่าเท่ากับ 1 ไมโครเมตร ในการคำนวณนี้จะแปรค่าความหนา t ตั้งแต่ 0 จนถึง 0.9 ไมโครเมตร

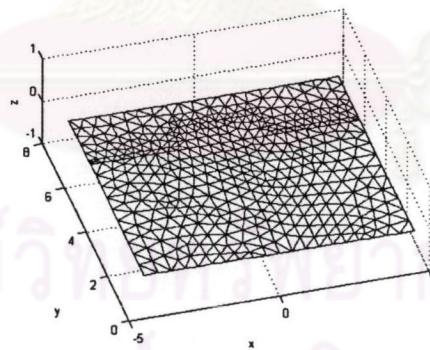
การเปรียบเทียบความแม่นยำของผลเฉลยที่คำนวณได้จะพิจารณาจาก ค่าดัชนีหักเหแสงประสิทธิผล (effective refractive index) คือ

$$N_{eff} = \frac{\beta}{k_0} \quad (ข.2)$$

โดยที่ β คือ ค่าคงตัวการแพร่กระจาย ซึ่งเป็นค่าเจาะจงของสมการ (3.27) และ $k_0 = 2\pi/\lambda$ คือ เวฟนัมเบอร์ในอวกาศว่าง (free space wave number)



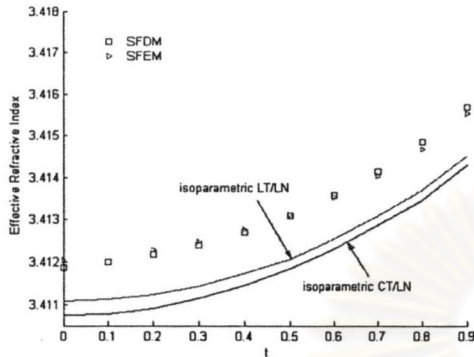
รูปที่ ข 1 ท่อนำคลื่นแสงแบบริบ



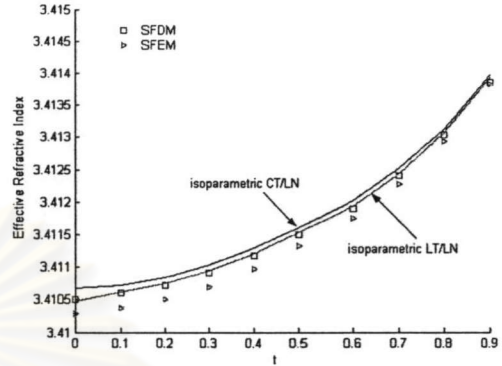
รูปที่ ข 2 ลักษณะของการแบ่งหน้าตัดของท่อนำคลื่นแสงแบบริบออกเป็น
อีลีเมนต์ไอโซพาราเมตริกแบบขอบตรง

แบ่งภาคตัดขวางของท่อนำคลื่นแสงออกเป็นอีลีเมนต์ไอโซพาราเมตริกแบบขอบตรง จำนวน 473 อีลีเมนต์ ดังรูปที่ ข 2 ผลการคำนวณค่าดัชนีหักเหแสงประสิทธิผลแสดงเป็นกราฟดังรูปที่ ข 3 จะเห็นได้ว่า ค่า N_{eff} ที่คำนวณได้จากอีลีเมนต์ไอโซพาราเมตริกแบบ CT/LN และ LT/LN สำหรับโหมดหลัก E_{11}^x จะมีค่าค่อนข้างแตกต่างจากผลการคำนวณของ Koshiba et al.

(1992) ที่อาศัยการประมาณแบบสเกลาร์ ในขณะที่ค่า N_{eff} สำหรับโหมดหลัก E_{11}^y มีค่าใกล้เคียงกับเอกสารอ้างอิงดังกล่าว อย่างไรก็ตาม ค่าที่คำนวณได้จากอิลิเมนต์แบบ CT/LN และ LT/LN นั้นมีค่าค่อนข้างใกล้เคียงกัน



(ก) โหมดหลัก E_{11}^x



(ข) โหมดหลัก E_{11}^y

รูปที่ 3 การเปรียบเทียบค่าดัชนีหักเหแสงประสิทธิผลที่คำนวณได้ของ ท่อนำคลื่นแสงแบบรีกับผลการคำนวณของ Koshiba et al. (1992)

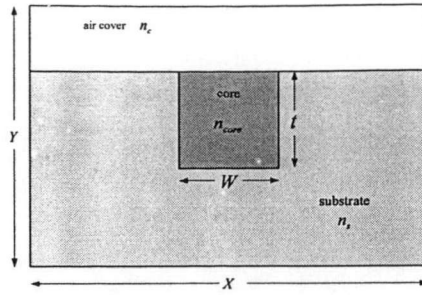
ท่อนำคลื่นแสงฝังในแผ่นฐานแบบดรรชนีชั้นบันได

พิจารณา ท่อนำคลื่นแสงฝังในแผ่นฐานดังรูปที่ 4 ความแตกต่างของค่าดัชนีหักเหแสงของบริเวณแกนนำแสงกับฐานรองสมมติให้เป็นแบบชั้นบันได รูปแบบเทนเซอร์สกายพยอมของบริเวณแผ่นฐานและแกนนำแสงจะเป็น ดังนี้

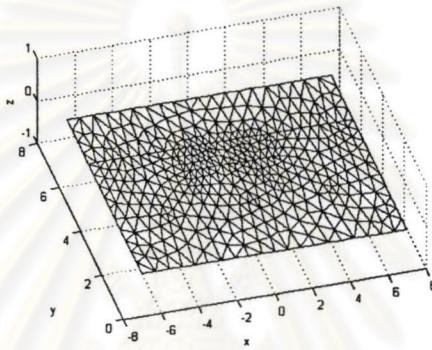
$$[\epsilon_{sub}] = \begin{bmatrix} (2.20)^2 & 0 & 0 \\ 0 & (2.29)^2 & 0 \\ 0 & 0 & (2.29)^2 \end{bmatrix} \tag{ข.3}$$

$$[\epsilon_{core}] = \begin{bmatrix} (2.222)^2 & 0 & 0 \\ 0 & (2.3129)^2 & 0 \\ 0 & 0 & (2.3129)^2 \end{bmatrix} \tag{ข.4}$$

ความสูงของแกนนำแสงมีค่าเท่ากับ t ความกว้างของแกนนำแสงมีค่าเท่ากับ $W = 5t$ กรอบของการคำนวณในแนวแกน x และแกน y มีค่าเท่ากับ $X = 10t$ และ $Y = 5t$ ตามลำดับ ในการคำนวณนี้จะแปรค่า k_0t ตั้งแต่ 0 จนถึง 30



รูปที่ ๔ ท่อนำคลื่นแสงฝังในแผ่นฐานแบบชั้นบันได

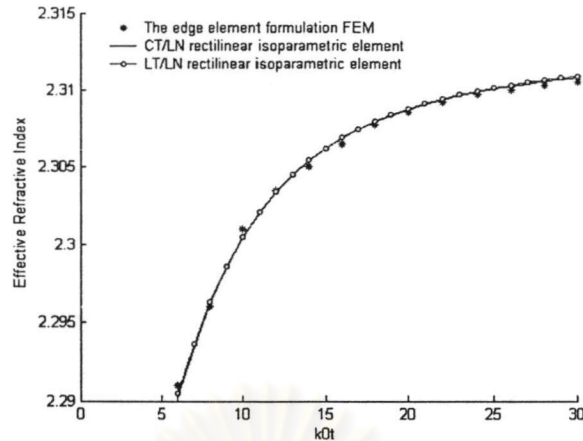


รูปที่ ๕ ลักษณะการแบ่งหน้าตัดของท่อนำคลื่นแสงฝังในแผ่นฐานแบบ ชั้นบันได

ออกเป็นอีลีเมนต์ไอโซพารามेटริกแบบขอบตรง

แบ่งภาคตัดขวางของท่อนำคลื่นแสงออกเป็นอีลีเมนต์ แบบขอบตรงจำนวน 628 อีลีเมนต์ ดังรูปที่ ๕ ผลการคำนวณค่าดัชนีหักเหแสงประสิทธิภาพของโหมดหลัก E_{11}' แสดงเป็น กราฟดังรูปที่ ๖ จะเห็นได้ว่า ค่า N_{eff} ที่คำนวณได้จากอีลีเมนต์ไอโซพารามेटริกแบบ CT/LN และ LT/LN มีค่าใกล้เคียงกับผลการคำนวณของ Koshiba et al. (1992: 89-91)

จุฬาลงกรณ์มหาวิทยาลัย



รูปที่ ๖ การเปรียบเทียบค่าดัชนีหักเหแสงประสิทธิภาพผลของโหมดหลัก E_{11}^y ที่คำนวณได้กับผลการคำนวณของ Koshiba et al. (1992: 89-91)

ท่อนำคลื่นแสงฝังในแผ่นฐานแบบดรรชนีลาด

พิจารณา ท่อนำคลื่นแสงฝังในแผ่นฐานดังรูปที่ ๗ ความแตกต่างของค่าดัชนีหักเหแสงของบริเวณแกนนำแสงกับฐานรองเป็นแบบดรรชนีลาด ในกรณีนี้ค่าดัชนีหักเหแสงสามัญ n_o และค่าดัชนีหักเหแสงวิสามัญ n_e ของบริเวณแกนนำแสงจะเป็นฟังก์ชันของตัวแปรระยะทางในภาคตัดขวาง ดังนี้

$$n_o(x, y) = n_{o,sub} + \Delta n_o \cdot f(x) \cdot g(y) \quad (๕.๕)$$

$$n_e(x, y) = n_{e,sub} + \Delta n_e \cdot f(x) \cdot g(y) \quad (๕.๖)$$

โดยที่ $n_{o,sub}$ และ $n_{e,sub}$ คือ ค่าดัชนีหักเหแสงสามัญ และ ค่าดัชนีหักเหแสงวิสามัญ ของแผ่นฐานตามลำดับ Δn_o และ Δn_e คือ ค่าความแตกต่างดัชนีหักเหแสงแผ่นฐานกับแกนนำแสง ในขณะที่ $f(x)$ และ $g(y)$ คือ ลักษณะการเปลี่ยนแปลงของค่าดัชนีหักเหแสงในทิศ x และ y ตามลำดับ

ลักษณะการเปลี่ยนแปลงค่าดัชนีหักเหแสงในทิศ x โดยทั่วไปมักจะสมมติให้มีการเปลี่ยนแปลงแบบฟังก์ชันเกาส์เซียน ในขณะที่การเปลี่ยนแปลงในทิศ y นิยมสมมติให้มีการเปลี่ยนแปลงแบบ ฟังก์ชันเกาส์เซียน หรือ ฟังก์ชันเอกโพเนนเชียล (Nishihara , Haruna and Suhara, 1989) ดังนั้น รูปแบบของ $f(x)$ และ $g(y)$ จะเป็นดังนี้

$$f(x) = \exp\left[-(x/D_x)^2\right] \quad (๕.๗)$$

$$g(y) = \begin{cases} \exp[-(y/D_y)^2] \\ \exp[-y/D_y] \end{cases} \quad (\text{ท.8})$$

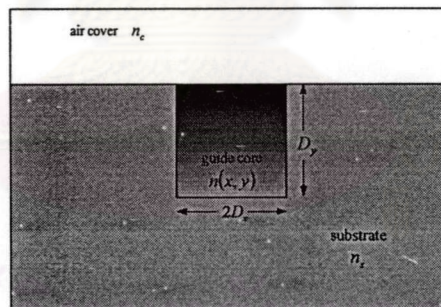
โดยที่ D_x และ D_y คือ ระยะของการแพร่ (diffusion) ในทิศ x และ y ตามลำดับ

กำหนดให้ แกนแสง (optic axis) ของตัวกลางทางแสงแบบยูนิแอกเซียลแอนไอโซทรอปิกของปัญหาที่นำคลื่นแสงนี้อยู่ในแนวแกน x ($c//x$) ในกรณีนี้เทนเซอร์สภาพยอมของแผ่นฐานและแกนนำแสง จะมีรูปแบบดังนี้

$$[\epsilon_{sub}] = \begin{bmatrix} (n_{e,sub})^2 & 0 & 0 \\ 0 & (n_{o,sub})^2 & 0 \\ 0 & 0 & (n_{o,sub})^2 \end{bmatrix} \quad (\text{ท.9})$$

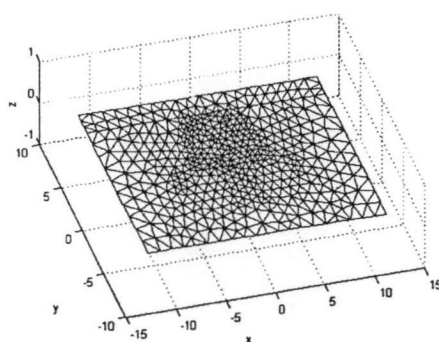
$$[\epsilon_{core}] = \begin{bmatrix} (n_e)^2 & 0 & 0 \\ 0 & (n_o)^2 & 0 \\ 0 & 0 & (n_o)^2 \end{bmatrix} \quad (\text{ท.10})$$

ในการคำนวณนี้จะกำหนดให้ $n_{o,sub}$ และ $n_{e,sub}$ มีค่าเท่ากับ 2.286 และ 2.21 ตามลำดับ และ $\Delta n_o = \Delta n_e = 0.01$ ในขณะที่ D_x และ D_y มีค่าเท่ากับ $3.0\mu\text{m}$ และ $6.0\mu\text{m}$ ตามลำดับ



รูปที่ 7 ท่อนำคลื่นแสงฝังในแผ่นฐานแบบดรรชนีลาด

จุฬาลงกรณ์มหาวิทยาลัย



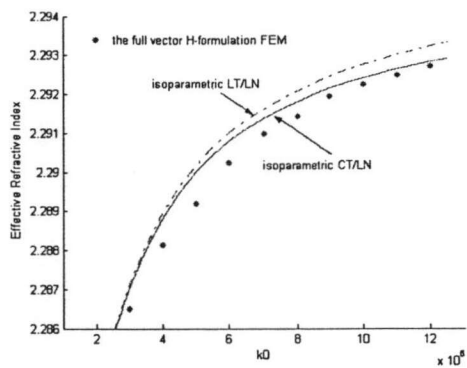
รูปที่ ๘ ลักษณะการแบ่งหน้าตัดของท่อนำคลื่นแสงผิงในแผ่นฐานแบบดรรชนีลาด
ออกเป็นอีลีเมนต์ไอโซพารามेटริกแบบขอบตรง

แบ่งภาคตัดขวางของท่อนำคลื่นแสงออกเป็นอีลีเมนต์ไอโซพารามेटริกแบบขอบ
ตรงจำนวน 648 อีลีเมนต์ดังรูปที่ ๘ ผลการคำนวณของปัญหาท่อนำคลื่นแสงนี้จะแบ่งออกเป็น
2 กรณี

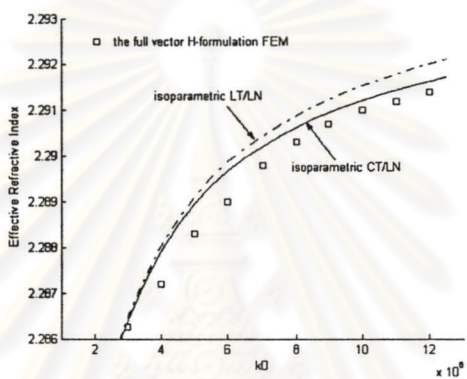
กรณีแรกกำหนดให้ $f(x)$ และ $g(y)$ เป็นฟังก์ชันเกาส์เซียน ค่าดัชนีหักเหแสง
ประสิทธิภาพของโหมดหลัก E_{11}' แสดงเป็นกราฟดังรูปที่ ๙ (ก) จะเห็นได้ว่า ค่า N_{eff} ที่คำนวณได้
จากอีลีเมนต์ไอโซพารามेटริกแบบ CT/LN และ LT/LN มีค่าใกล้เคียงกับผลการคำนวณของ
Katsriku , Rahman and Grattan (1996)

กรณีที่สองกำหนดให้ $f(x)$ เป็นฟังก์ชันเกาส์เซียน ในขณะที่ $g(y)$ เป็นฟังก์ชัน
เอกโพเนนเชียล ค่าดัชนีหักเหแสงประสิทธิภาพของโหมดหลัก E_{11}' แสดงเป็นกราฟดังรูปที่ ๙ (ข)
จะเห็นได้ว่า ค่า N_{eff} ที่คำนวณได้ มีค่าใกล้เคียงกับผลการคำนวณของ Katsriku , Rahman and
Grattan (1996) เช่นเดียวกัน

จุฬาลงกรณ์มหาวิทยาลัย



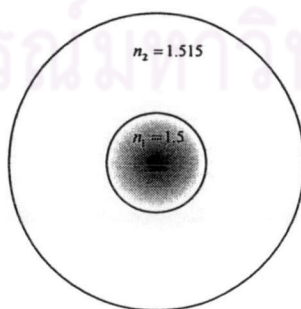
(n) gaussian-gaussian distribution



(ข) gaussian-exponential distribution

รูปที่ 9 การเปรียบเทียบค่าดัชนีหักเหแสงประสิทธิผลของโหมดหลัก E_{11}^y ที่คำนวณได้
กับผลการคำนวณของ Katsriku , Rahman and Grattan (1996)

เส้นใยแสงแบบดรรชนีลาด (graded-index optical fiber)



รูปที่ 10 เส้นใยแสงแบบดรรชนีลาด

พิจารณา เส้นใยแสงแบบดรรชนีลาดดังรูปที่ ข 10 ส่วนเปลือกหุ้มของเส้นใยแสงนี้มีค่าดัชนีหักเหแสง n_2 คงที่ ในขณะที่ค่าดัชนีหักเหแสงของแกนนำแสงนั้นมีค่าแปรตามระยะทางในแนวรัศมีในลักษณะที่เรียกว่า กำลังอัลฟา (α -power refractive index profile) ดังรูปที่ ข 11 นิยามค่าดัชนีหักเหแสงดังกล่าวได้ ดังนี้

$$n(r) = \begin{cases} n_1 \sqrt{1 - 2\Delta(r/a)^\alpha} & ; 0 \leq r \leq a \\ n_1 \sqrt{1 - 2\Delta} & ; a < r \end{cases} \quad (\text{ข.11})$$

โดยที่ n_1 คือ ค่าดัชนีหักเหแสงสูงสุดของแกนนำแสง a คือ รัศมีของแกนนำแสง และ Δ คือ ค่าความแตกต่างดัชนีหักเหแสงสัมพัทธ์ (relative refractive index difference)

$$\Delta = \frac{n_1^2 - n_2^2}{2n_1^2} \quad (\text{ข.12})$$

v คือ ความถี่แบบนอร์มัลไลซ์ (normalized frequency)

$$v = n_1 k_0 a \sqrt{2\Delta} \quad (\text{ข.13})$$

b คือ ค่าคงตัวการแพร่กระจายแบบนอร์มัลไลซ์ (normalized propagation constant)

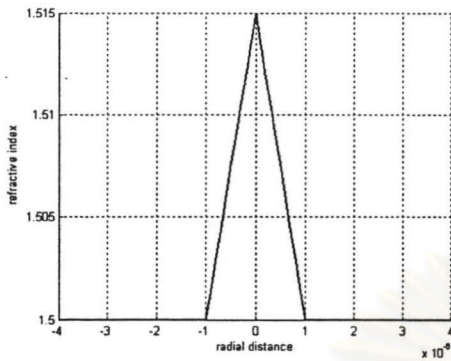
$$b = \frac{(\beta/k_0)^2 - n_2^2}{n_1^2 - n_2^2} \quad (\text{ข.14})$$

แบ่งภาคตัดขวางของท่อนำคลื่นแสงออกเป็นอิลลิเมนต์ไอโซพาราแบบขอบตรงจำนวน 445 อิลลิเมนต์ดังรูปที่ ข 12 (ก) และแบบขอบโค้งจำนวน 108 อิลลิเมนต์ดังรูปที่ ข 13 (ข) ผลการคำนวณของปัญหาเส้นใยแสงนี้จะเทียบความถูกต้องกับผลการคำนวณของ Koshiba (1992: 118-120) โดยแบ่งออกเป็น 2 กรณี คือ

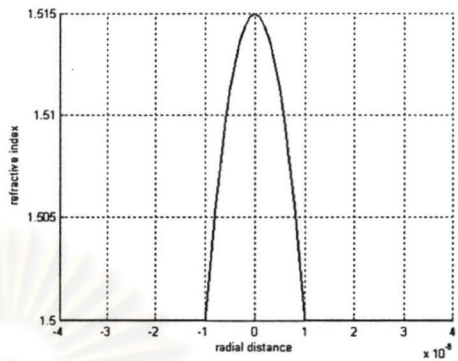
กรณีแรก การเปลี่ยนแปลงค่าดัชนีหักเหแสงของแกนนำแสงเป็นแบบ triangular index ($\alpha = 1$) ดังรูปที่ ข 12 (ก) ค่าคงตัวการแพร่กระจายแบบนอร์มัลไลซ์ b ของโหมดหลัก HE_{11} แสดงเป็นกราฟดังรูปที่ ข 13 (ก) จากรูปจะเห็นได้ว่าการลู่เข้าของค่า b ที่คำนวณได้จากอิลลิเมนต์ LT/LN แบบขอบโค้งจะสูงกว่าอิลลิเมนต์แบบขอบตรง ผลเฉลยนี้คำนวณได้จากการใช้อิลลิเมนต์ขอบโค้งเพียง 108 อิลลิเมนต์เท่านั้น ในขณะที่อิลลิเมนต์ขอบตรงจำนวนถึง 445 อิลลิเมนต์ยังให้ผลเฉลยที่ไม่ค่อยลู่เข้าเท่าใดนัก

กรณีที่สอง การเปลี่ยนแปลงค่าดัชนีหักเหแสงของแกนนำแสงเป็นแบบ parabolic index ($\alpha = 2$) ดังรูปที่ ข 12 (ข) ค่า b ของโหมดหลัก HE_{11} แสดงเป็นกราฟ

ดังรูปที่ ข 13 (ก) จากรูปจะเห็นได้ว่าอัตราการลู่เข้าของค่า b ที่คำนวณได้จากอสิเมนต์ LT/LN แบบขอบโค้งจะสูงกว่าอสิเมนต์แบบขอบตรงเช่นกัน

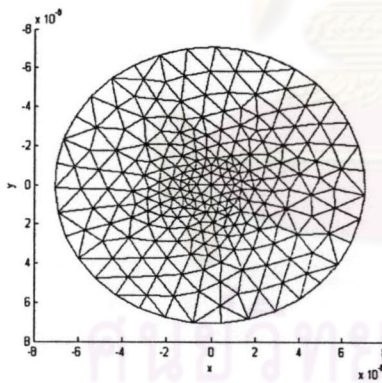


(ก) triangular index ($\alpha = 1$)

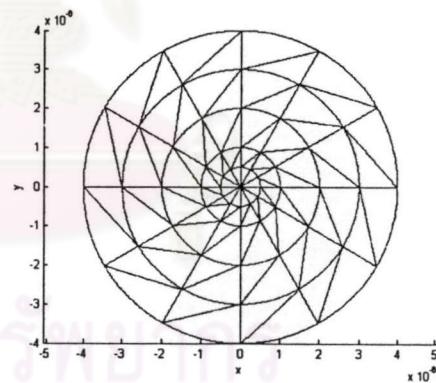


(ข) parabolic index ($\alpha = 2$)

รูปที่ ข 11 ลักษณะการเปลี่ยนแปลงค่าดัชนีหักเหแสงตามระยะทางในแนวรัศมีของเส้นใยแสง

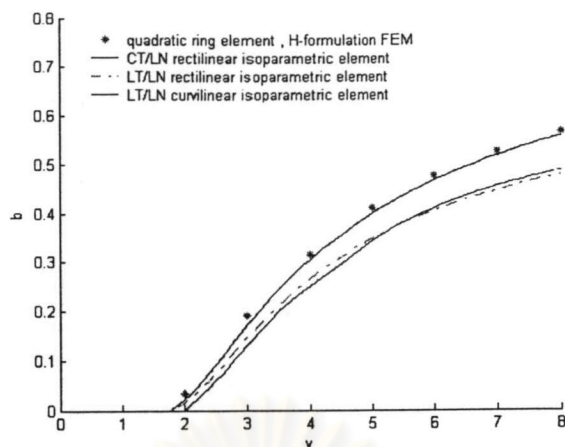
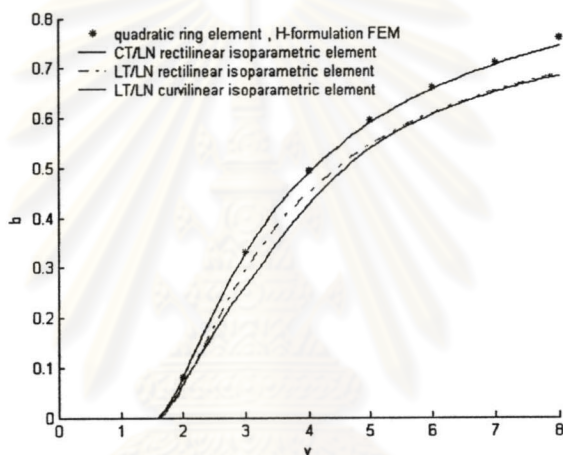


(ก) อสิเมนต์ขอบตรงจำนวน 445 อสิเมนต์



(ข) อสิเมนต์ขอบโค้งจำนวน 108 อสิเมนต์

รูปที่ ข 12 ลักษณะการแบ่งหน้าตัดของเส้นใยแสงออกเป็นอสิเมนต์ไอโซพารามตริก

(n) triangular-index ($\alpha = 1$)(ข) parabolic-index ($\alpha = 2$)

รูปที่ ข 13 คุณสมบัติการแพร่กระจายในโหมด HE_{11} ของเส้นใยแสงที่มีดัชนีหักเหแสงเป็นแบบดรรชนีลาด (α -power)

ศูนย์วิทยทรัพยากร
จุฬาลงกรณ์มหาวิทยาลัย

ประวัติผู้เขียนวิทยานิพนธ์

นายปิยพงศ์ นิพัทธ์ศานต์ เกิดวันที่ 6 พฤษภาคม พ.ศ. 2519 ที่อำเภอเมือง ลำปาง จังหวัดลำปาง สำเร็จการศึกษาปริญญาตรีวิศวกรรมศาสตรบัณฑิต สาขาวิศวกรรม อิเล็กทรอนิกส์และโทรคมนาคม ภาควิชาวิศวกรรมอิเล็กทรอนิกส์และโทรคมนาคม คณะวิศวกรรมศาสตร์ มหาวิทยาลัยเทคโนโลยีพระจอมเกล้าธนบุรี ในปีการศึกษา 2542 จากนั้น เข้าศึกษาต่อในหลักสูตร วิศวกรรมศาสตรมหาบัณฑิต สาขาวิศวกรรมไฟฟ้า ภาควิชา วิศวกรรมไฟฟ้า คณะวิศวกรรมศาสตร์ จุฬาลงกรณ์มหาวิทยาลัย เมื่อ พ.ศ. 2542 โดยได้รับทุน โครงการพัฒนาอาจารย์ สาขาวิชาขาดแคลน ภาควิชาวิศวกรรมไฟฟ้า คณะวิศวกรรมศาสตร์ มหาวิทยาลัยขอนแก่น



ศูนย์วิทยทรัพยากร
จุฬาลงกรณ์มหาวิทยาลัย